

Bachelorarbeit

Jakob Häge

Hard- und Softwareentwicklung eines magnetischen
Sensor-Arrays für ein Schraubwerkzeug

Jakob Häge

Hard- und Softwareentwicklung eines magnetischen Sensor-Arrays für ein Schraubwerkzeug

Bachelorarbeit eingereicht im Rahmen der Bachelorprüfung
im Studiengang *Bachelor of Science Elektro- und Informationstechnik*
am Department Informations- und Elektrotechnik
der Fakultät Technik und Informatik
der Hochschule für Angewandte Wissenschaften Hamburg

Betreuender Prüfer: Prof. Dr.-Ing. Karl-Ragmar Riemschneider
Zweitgutachter: Prof. Dr.-Ing. Lutz Leutelt

Eingereicht am: 15. Juni 2023

Jakob Häge

Thema der Arbeit

Hard- und Softwareentwicklung eines magnetischen Sensor-Arrays für ein Schraubwerkzeug

Stichwörter

Magnetsensor, TMR-Sensor, Sensorarray, rund, Schraubwerkzeug, Vorspannkraft, Drehmoment

Kurzzusammenfassung

Um eine präzise Schätzung der in einer Schraubverbindung wirkenden Vorspannkraft zu erreichen, ist es von Interesse, den Winkel der Torsion einer Schraube mit hoher Auflösung zu ermitteln. Für die Entwicklung eines Schraubwerkzeugs mit integrierter kontakloser Torsionswinkelmessung wird im Rahmen dieser Arbeit ein rundes magnetisches Sensorarray bestehend aus 16 kreisförmig angeordneten zweidimensionalen TMR-Sensoren entwickelt und überprüft.

Jakob Häge

Title of Thesis

Hardware and Software Development of a Magnetic Sensor Array for a Screw Fastening Tool

Keywords

Magnetic Sensor, TMR-Sensor, Sensorarray, Circular, Wrench, Tool, Preload Force, Torque

Abstract

In order to achieve a precise estimate of the preload force acting in a bolted joint, it is of interest to determine the angle of torsion of a bolt with high resolution. For the development of a screw fastening tool with integrated contactless torsion angle measurement, a circular magnetic sensor array consisting of 16 circularly arranged two-dimensional TMR sensors is developed and tested within the scope of this work.

Inhaltsverzeichnis

Abbildungsverzeichnis	vi
Tabellenverzeichnis	viii
Abkürzungen	ix
1 Einleitung	1
1.1 Einführung	1
1.2 Grundlagen	2
1.2.1 Ermittlung der Vorspannkraft einer Schraubverbindung	2
1.2.2 Drehwinkelbestimmung durch Magnetsensorik (TMR)	5
1.2.3 Konzept eines Schraubwerkzeugs mit rundem Sensorarray	8
1.2.4 Ermittlung des Drehwinkels durch Fouriertransformation	9
2 Hardware-Entwurf des Sensor-Arrays	14
2.1 Entwicklung der Sensorplatine	14
2.2 Schaltungsprinzip des Arrays	15
2.2.1 Multiplexvariante	15
2.2.2 Diodenvariante	17
2.2.3 Auswahl und Auslegung der Bauteile	19
2.3 Entwicklung der Schaltung und des Platinenlayouts	19
2.4 Umsetzung, Fertigung und Bestückung	21
3 Software-Entwicklung	24
3.1 Planung der Inbetriebnahme	24
3.2 Aufbau und Test	24
3.3 Entwicklung von Software	27
3.4 Darstellung der Ergebnisse	28

4	Entwicklung des Messaufbaus	34
4.1	Anforderung an die Messung	35
4.2	Aufbau mit Schrittmotor und CUI-Encoder	35
4.3	Entwicklung und 3D-Druck der Verbindungsteile	36
5	Bewertung der Messergebnisse	40
5.1	Messwerte und graphische Auswertung/Darstellung	40
5.2	Vergleich mit Messwerten des Winkelgebers AMT212B-V der Firma CUI- Devices	40
5.2.1	Multiplexerplatine	41
5.2.2	Diodenplatine	43
5.2.3	Betrachtung der Fehlerquellen	44
5.3	Interpretation im Kontext der Anwendung als Schraubwerkzeug	47
6	Fazit	49
6.1	Zusammenfassung	49
6.2	Ausblick	49
	Literaturverzeichnis	51
A	Anhang	53
A.1	Platinenlayout	53
A.2	Eagle Schematics	55
A.3	Quellcodes	59
A.3.1	Mikrocontroller	59
A.3.2	Matlab-Code	71
	Selbstständigkeitserklärung	79

Abbildungsverzeichnis

1.1	Vorschlag für das Design des Schraubwerkzeuges	2
1.2	geometrische Parameter, Schraubverbindung	3
1.3	Torsionstabelle für unterschiedliche Schrauben	5
1.4	Kennlinienschar CT310 steigend	7
1.5	Kennlinienschar CT310 fallend	7
1.6	Winkelmessung mit CT310	8
1.7	Patentzeichnung Schraubwerkzeug	9
1.8	Ausbreitung des magnetischen Felds eines Dipols	10
1.9	Skizze der Abtastwerte eines runden Sensorarrays aus Winkelsensoren des Typs CT310 im Feld eines magnetischen Dipols	11
1.10	Darstellung der Ausgangsspannungen der Sensoren aus Abbildung 1.9 . . .	11
2.1	Schaltbild der Multiplexerplatine	16
2.2	Schaltbild der Diodenplatine	18
2.3	Belegung GPIO Pins des Mikrocontrollers	20
2.4	Abmessungen der Platine.	22
2.5	Aufbau der Multiplexerplatine - Sensorschaltung.	23
2.6	Aufbau der Diodenplatine - Sensorschaltung.	23
3.1	Ablaufdiagramm des Mikrocontrollers	27
3.2	Ablaufdiagramm des Laborrechners	28
3.3	Schaltvorgang einer Multiplexerschaltung - Detail	30
3.4	Schaltvorgang einer Multiplexerschaltung - Abtastzeitraum	31
3.5	Schaltvorgang einer Diodenschaltung - Detail	32
3.6	Schaltvorgang einer Diodenschaltung - Abtastzeitraum	33
4.1	Bild des Versuchsaufbaus	34
4.2	Skizze des Versuchsaufbaus und der Kommunikationsschnittstellen der ein- zelnen Elemente	37

4.3	Modell des Versuchsaufbaus - oben	38
4.4	Modell des Versuchsaufbaus - unten	39
5.1	ADC-Abtastwerte der Sensoren bei Drehwinkel ca. 0°	41
5.2	Winkelfehler des Winkelgebers	42
5.3	Winkelfehler der Multiplexerplatine	43
5.4	Differenz zwischen Winkelfehlern bei Mittlung	44
5.5	Winkelfehler der Diodenplatine	45
5.6	Fehlerquellen durch Fehlausrichtung	46
5.7	Winkelfehler bei Verschiebung des Magneten in der Z Ebene mittels Stabmagnet	48
A.1	Aufbau der Multiplexerplatine	53
A.2	Aufbau der Diodenplatine	54
A.3	Schematic der Multiplexerplatine - Ein Sensor	55
A.4	Schematic der Multiplexerplatine - Komplett	56
A.5	Schematic der Diodenplatine - Ein Sensor	57
A.6	Schematic der Diodenplatine - Komplett	58

Tabellenverzeichnis

2.1	Pinbelegung der Platine	21
3.1	Testplan zur Inbetriebnahme der Platine	26

Abkürzungen

ADC Analog Digital Converter.

CSV Comma Separated Value.

GND Masse.

GPIO General Purpose Input-Output.

IC Integrated Circuit.

ISAR Integrated Sensor-Arrays.

LSB Least Significant Bit.

LVTTTL Low-Voltage Transistor-Transistor Logic.

MOSFET Metall-Oxid-Halbleiter-Feldeffekttransistor.

MUX Multiplexer.

TMR Tunnel Magnetoresistance.

TSSOP Thin Film Small Outline Package.

UART Universal Asynchronous Receiver / Transmitter.

USB Universal Serial Bus.

VCC Betriebsspannung.

1 Einleitung

1.1 Einführung

Dieser Arbeit voran geht die Planung eines Schraubwerkzeuges mit integrierter Messung des Torsionswinkels einer Schraube kontaktlos und ohne mechanische Komponenten. Ziel der Entwicklung dieses Werkzeuges ist die präzise Bestimmung der auf eine Schraubverbindung wirkende Vorspannkraft um genauere Auslegungen von Schrauben zu ermöglichen. Um dies zu realisieren, soll ein kleiner Drehwinkel durch magnetische Winkelsensoren gemessen werden. Aufgrund der Konstruktionsweise einer Schraube oder der Nuss des Werkzeuges bietet sich die Messung über ein rundes Sensorarray an. Ein Vorschlag für das Design eines runden Sensorarrays ist in Abbildung 1.1 gezeigt. Ein rundes Sensorarray bietet des Weiteren mehrere theoretische Vorteile gegenüber einer rechteckigen Anordnung. Durch Fouriertransformation der Sensorwerte kann die Messung von zwei, sich überlagernden Feldern ermöglicht werden. Dies könnte die Messung eines Referenzdrehwinkels erleichtern. Auch kann durch die Fouriertransformation das Nutzsignal von Störsignalen, ausgehend von überlagernden Streufeldern, getrennt werden.

Inhaltlich wird in dieser Arbeit wird die Planung, Entwicklung und Überprüfung eines runden magnetischen Sensorarrays beschrieben. Es werden zuerst die Grundlagen der Funktionsweise des Arrays genauer beschrieben. Anschließend wird die Planung zur Entwicklung der Hard- und Software des Arrays erklärt. Es wird genau auf die Auslegung der Bauteile und die Schaltungsentwürfe eingegangen. Die Auswahl und Programmierung der logischen Elemente werden beschrieben, welche es ermöglichen, die Platine in einem Versuchsaufbau auszulesen. Im letzten Teil der Entwicklung wird der Messaufbau dargestellt. Es wird in diesem Teil genauer auf die Erprobung der Platine und die Planung der Tests eingegangen. Im nächsten Kapitel werden die Messergebnisse interpretiert. Die Erkenntnisse werden außerdem im Kontext der Anwendung als Schraubwerkzeug bewertet. Abschließend wird die Arbeit zusammengefasst und ein Fazit gezogen.

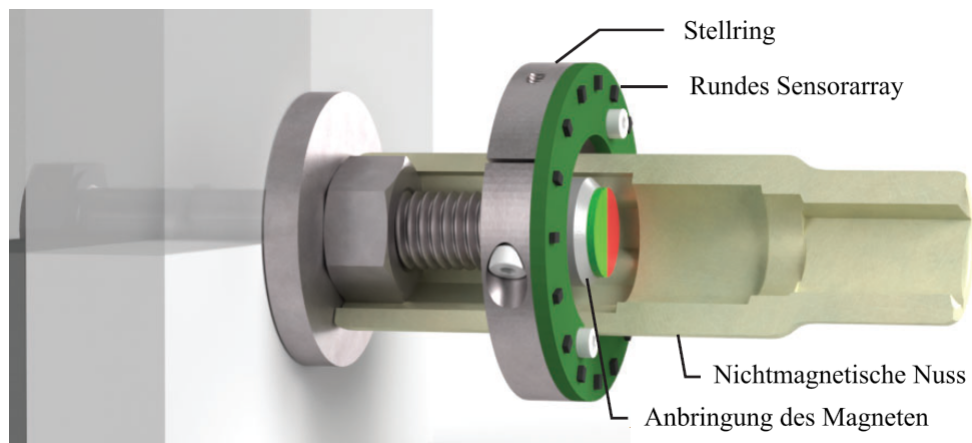


Abbildung 1.1: Vorschlag für Design des Schraubwerkzeuges aus "Magnetic Sensor Array for Determining the Assembly Torsion and Preload of a Bolted Joint"[8]

1.2 Grundlagen

In diesem Kapitel werden die, dieser Arbeit zu Grunde liegenden Sachverhalte erklärt. Es wird auf das in dieser Arbeit behandelte Problem der Vorspannkraftbestimmung eingegangen sowie Bestimmungsmethoden erklärt. Anschließend wird genauer in die Methode eingeführt, auf welcher die entwickelte Platine basiert.

1.2.1 Ermittlung der Vorspannkraft einer Schraubverbindung

Allgemein

Das Anziehdrehmoment einer Schraubverbindung M_A lässt sich durch Formel 1.1 bestimmen. Es setzt sich zusammen aus dem Moment des Schraubengewindes M_G (Formel 1.2) und dem Moment des Schraubenkopfes M_K (Formel 1.3). Diese sind abhängig von den Schraubendimensionen und ihrer Schmierung. Hierbei ist d_2 der Flankendurchmesser des Gewindes, μ_K der Reibungskoeffizient des Schraubenkopfes und μ_G der des Schraubengewindes. Das Moment der Kopfreibung ist außerdem abhängig vom Reibungsdurchmesser, welcher sich aus dem äußeren Durchmesser der Mutter d_w und ihrem inneren Durchmesser d_{ha} zusammensetzt. Alle Längen sind der Abbildung 1.2 zu entnehmen.

Beide Formeln der Momente sind des Weiteren abhängig von der Vorspannkraft F_M . Aus diesen Formeln wird ersichtlich, dass die Vorspannkraft bei Ermittlung durch das

Anziehdrehmoment eine Abhängigkeit von den Schraubendimensionen und Reibungskoeffizienten aufweist.

$$M_A = M_G + M_K \quad (1.1)$$

$$M_G = F_M \frac{d_2}{2} \left(\frac{P}{\pi d_2} + \mu_G \frac{1}{\cos(\alpha/2)} \right) \quad (1.2)$$

$$M_K = F_M \mu_K \frac{D_{Km}}{2} \quad (1.3)$$

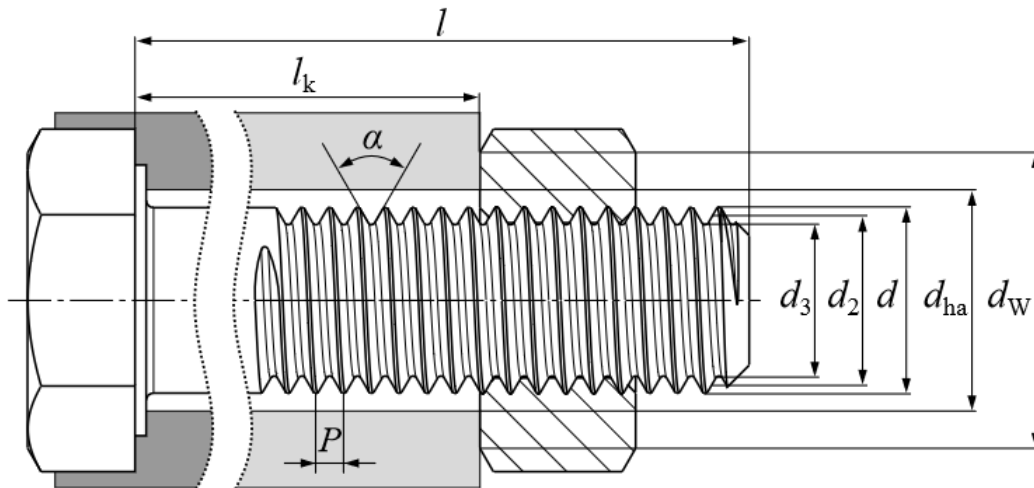


Abbildung 1.2: Darstellung einer Schraubverbindung mit geometrischen Parametern [8]

Konventionelle Methoden

Da es sich beim Anziehdrehmoment um das Moment handelt, welches vom Schraubwerkzeug ausgeht und auf die Schraubverbindung wirkt, kann eine Messung dieses Moments sich einfach mit mechanischen Methoden umsetzen lassen und ein Überschreiten des Moments haptisch oder akustisch signalisiert werden [9].

Die drehmomentbasierte Ermittlung der Vorspannkraft einer Schraubverbindung kann jedoch nur mit eingeschränkter Genauigkeit erfolgen da, wie im letzten Absatz gezeigt, Reibung des Kopfes und Gewindes der Schraube ebenso wie die Vorspannkraft einen

Einfluss auf das am Schraubwerkzeug gemessene Drehmoment haben.

Des Weiteren kann die auf die Schraubverbindung wirkende Vorspannkraft über die Längung der Schraube ermittelt werden. Bei dieser Methode können, im Gegensatz zur Drehmomentbestimmung, Reibungswerte weitestgehend zur Bestimmung der Vorspannkraft vernachlässigt werden. Hierfür müssen jedoch speziell gefertigte Messschrauben mit einem Stifteinsatz genutzt werden. Dies erfordert einen großen Aufwand und erhöht die Kosten. Außerdem wird die Schraube durch den Stifteinsatz strukturell geschwächt und eine Bestimmung der Längendifferenz der Schraube gestaltet sich häufig schwierig und ist meist nur mit hochpräzisem Werkzeug möglich.

Torsionsmethode

Die Methode, auf deren Grundlage das in dieser Arbeit betrachtete Schraubwerkzeug basiert, betrachtet die Vorspannkraft in Abhängigkeit des Torsionswinkels der Schraube. Zu diesem Zweck wird die Schraube als Torsionsfeder angenommen. Über den Torsionswinkel der Schraube kann dann mit der Kenntnis über die Schraubengrößen und Schraubenlängen auf die Vorspannkraft geschlossen werden.

Die Messung des Torsionswinkels gestaltet sich jedoch häufig schwierig. Zum einen ist die Winkeländerung selbst bei großer Vorspannkraft sehr klein und setzt dafür eine hohe Präzision an das Messwerkzeug voraus. Diese Präzision setzt des weiteren meist eine Referenzmessung des Drehwinkels der Schraube in Referenz zum Schraubwerkzeug bzw. dem Werkstück voraus. In Abbildung 1.3 sind eine Auswahl an Torsionswinkel tabellarisch für verschiedene Schrauben und Vorspannkräfte gezeigt.

Die magnetische Messung des Torsionswinkel weist gegenüber mechanischen und optischen Methoden durch die kontaktlose Anwendung eine hohe Robustheit auf [8]. Es ist jedoch für viele Anwendungsfälle nötig die Präzision der magnetischen Winkelmessung zu erhöhen, um damit auch eine hohe Auflösung des Torsionswinkels zu erreichen.

Größe	F_M (kN)	l_k (mm)				
		60.00	80.00	100.00	120.00	140.00
M6	9.90	3.30°	4.40°	5.50°	6.60°	7.70°
M8	18.10	2.43°	3.24°	4.05°	4.86°	5.67°
M10	28.80	1.92°	2.57°	3.21°	3.85°	4.49°
M12	41.90	1.59°	2.12°	2.65°	3.18°	3.71°
M16	78.80	1.15°	1.53°	1.92°	2.30°	2.68°

Abbildung 1.3: Torsion einer Schraube in Grad(°) bei auf sie wirkender Vorspannkraft F_M . Tabelle für unterschiedliche metrische ISO-Regel-Gewinde und Schraubenlänge l_k

[8]

1.2.2 Drehwinkelbestimmung durch Magnetsensorik (TMR)

Spezifika des Sensortyps

Auf der entwickelten Sensorplatine werden Sensoren des Typs CT310 genutzt. Bei diesen handelt es sich um zweidimensionale, differentielle Tunnel Magnetoresistance (TMR)-Sensoren, welche den magnetischen Tunnelwiderstand ausnutzen, um ein magnetisches Feld in zwei Achsen zu messen und in zwei differentielle Ausgangsspannungen zu wandeln. TMR-Sensoren bieten gegenüber Magnetfeldsensoren mit anderen Technologien (Hall, AMR) einige Vorteile. Sie können etwa Felder bei kleinen Feldstärken mit einer hohen Empfindlichkeit ($\Delta R/R$ über 100%) messen [13]. Durch ihre hohen Ausgangsspannungen kann deshalb auf zusätzliche Verstärkerschaltungen vor einer Analog-Digital-Wandlung verzichtet werden.

Zur Darstellung der Kennlinien des Sensors ist eine Charakterisierung nötig. Diese wird an einem im Rahmen des Projektes Integrated Sensor-Arrays (ISAR) entwickelten Kreuzspulenmessplatz durchgeführt [1]. Die Ergebnisse liegen vor. Durch die Charakterisierung des Sensors lässt sich sein Verhalten in zwei Bereiche einordnen.

1. lineares Verhalten - $[-2.7 \text{ kA/m} < H < 2.7 \text{ kA/m}]$

2. gesättigtes Verhalten - $[|H| > \pm 2.7 \text{ kA/m}]$

Im Bereich der Feldstärke von ca. -2.7 kA/m bis 2.7 kA/m kann die Ausgangsspannung in ein lineares Verhältnis zur Feldstärke gesetzt werden. Dieses Verhalten ist in den Abbildungen 1.4 und 1.5 gezeigt. Wird der Betrag des Feldes einer Dimension (z.B. X-Richtung) größer als 2.7 kA/m , geht der Sensor in die Sättigung und verliert seine Linearität. Querfelder in der zweiten Dimension (z.B. Y-Richtung) des Sensors führen jedoch zur Verzerrung der Kennlinie. Wirkt also bei einer Messung auf der X-Achse ein Feld in Y-Richtung, so sinkt die Empfindlichkeit des Sensors in X-Richtung. Der lineare Bereich des Sensors wird weiter, während die Ausgangsspannung sinkt. Die Sättigung tritt erst bei einer größeren Feldstärke ein.

Der Hersteller des Sensors empfiehlt, den Sensor in einem Feld mit Flussdichte von mindestens 25 mT bis maximal 90 mT zu betreiben [2]. Dies entspricht bei Ausbreitung in Luft einer Feldstärke von etwa 17 kA/m . Die empfohlene Ausrichtung des Sensors ist in Abbildung 1.6 gezeigt. Hierbei wird der Sensor in Sättigung betrieben. Die Stärke des Feldes an der Position des Sensors bei 90° -Drehung des Magneten verändert sich nicht, lediglich die Richtung des Feldes. Dies ist nicht der Fall, wird der Magnet auf gleicher Höhe wie der Sensor neben ihm platziert. Dies wird im weiteren Verlauf der Arbeit betrachtet.

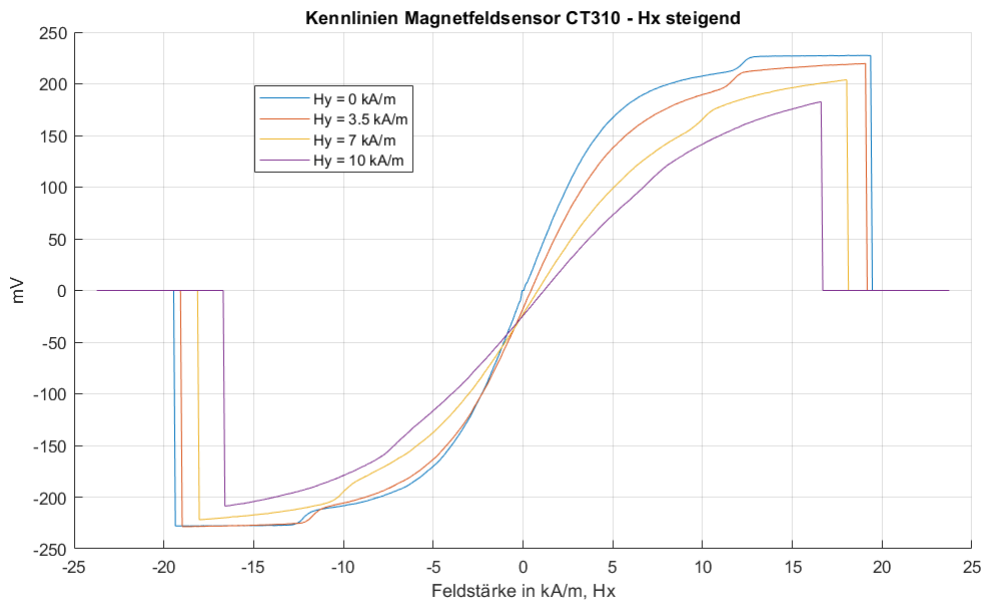


Abbildung 1.4: Kennlinienschar des Sensors CT310 bei steigender Feldstärke in X-Richtung für unterschiedliche Querfelder in Y-Richtung, aufgenommen am Kreuzspulenmessplatz des Labors.

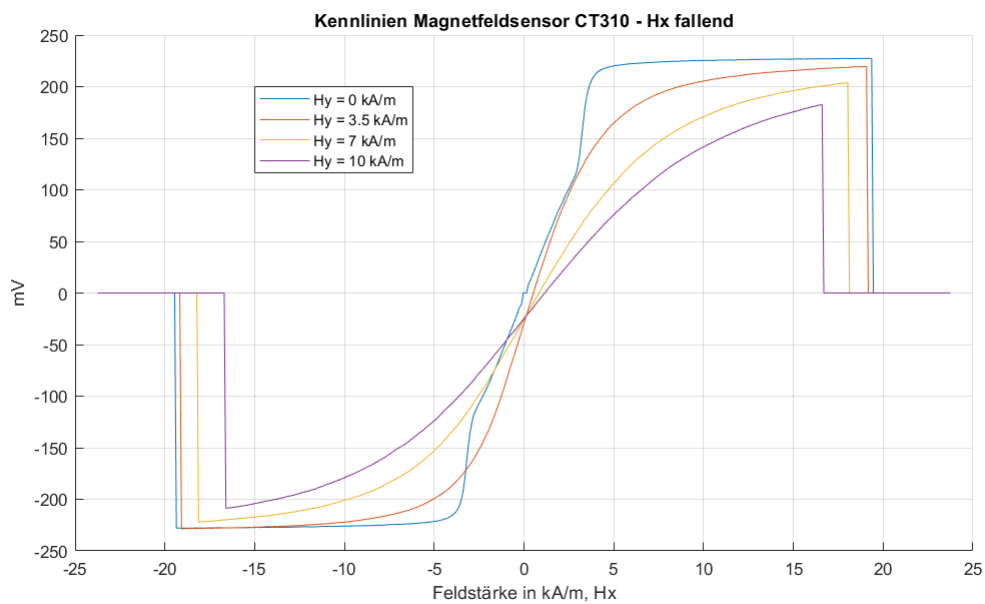


Abbildung 1.5: Kennlinienschar des Sensors CT310 bei fallender Feldstärke in X-Richtung für unterschiedliche Querfelder in Y-Richtung, aufgenommen am Kreuzspulenmessplatz des Labors.

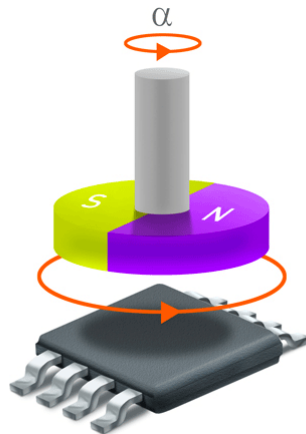


Abbildung 1.6: Darstellung von Drehwinkelmessung mit Sensor des Typen CT310 nach Hersteller [3]

1.2.3 Konzept eines Schraubwerkzeugs mit rundem Sensorarray

Um den Torsionswinkel einer Schraube in einer mit einer Mutter gekonterten Schraubverbindung zweier Werkstücke zu ermitteln, müssen folgende Drehwinkel bekannt sein.

1. Drehwinkel des Schraubenkopfes W_1
2. Drehwinkel der Mutter W_2
3. Drehwinkel des Schraubenendes W_3

In Abb. 1.7 sind diese Drehwinkel in einer Patentzeichnung gezeigt. Außerdem wird in der Zeichnung eine mögliche Methode zur Messung dieser Winkel durch zwei runde Sensorarrays [2],[5] mit Magnetsensoren, sowie zwei magnetische Halbacharrays [3],[4] und einem radial magnetisierten Magneten [7] auf dem Schraubenende gezeigt.

Im weiteren Verlauf dieser Arbeit wird die Entwicklung eines runden Sensorarrays beschrieben und Methoden zur Bestimmung des Drehwinkels eines rotierenden magnetischen Dipols im Zentrum eines Arrays betrachtet. Dies ist vergleichbar mit der Bestimmung des Drehwinkels δ in Abbildung 1.7.

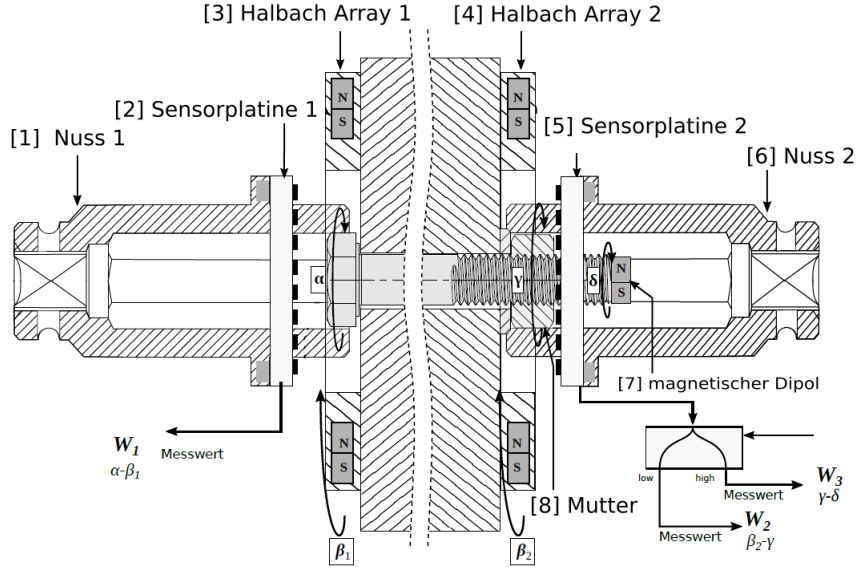


Abbildung 1.7: Patentzeichnung für eine theoretische Umsetzung eines magnetischen Schraubwerkzeugs zur Bestimmung eines Torsionswinkels einer Schraube mit Drehwinkelmessung an Schraubenkopf und Schraubenende. [9]

1.2.4 Ermittlung des Drehwinkels durch Fouriertransformation

Für die Betrachtung des Drehwinkels δ des auf dem Schraubenende angebrachten radial magnetisierten Magneten kann dieser als magnetischer Dipol angenommen werden. Voraussetzung hierfür ist, dass der Radius des Sensorarrays deutlich größer ist als der Radius des Magneten. Es gilt also $R_{Array} \gg R_{Magnet}$. Das magnetische Feld eines Dipols kann durch folgende Formel angenähert werden [6]:

$$\vec{H}(\vec{r}) = \frac{1}{4\pi} \left[\frac{3(\vec{y} \cdot \vec{r})\vec{r}}{r^5} - \frac{\vec{y}}{r^3} \right] \quad (1.4)$$

Wird nun ein 2-dimensionaler Magnetfeldsensor(X,Y) mit einem X-Achsenabstand von a von einem magnetischen Dipol mit magnetischem Moment b in Y-Richtung im Ursprung des Koordinatensystems angenommen (vergleichbar mit Abbildung 1.9), so ergeben sich folgende Vektoren

$$(\vec{r}) = \begin{pmatrix} r_x = a \\ r_y = 0 \\ r_z = 0 \end{pmatrix} \quad (\vec{y}) = \begin{pmatrix} y_x = b \\ y_y = 0 \\ y_z = 0 \end{pmatrix} \quad (1.5)$$

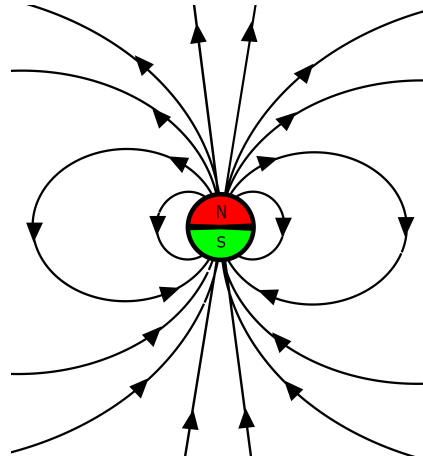


Abbildung 1.8: Ausbreitung des magnetischen Felds eines Dipols

An der Position des Sensors lässt sich die Formel zur Berechnung des Feldes in X-Richtung folgendermaßen vereinfachen.

$$\vec{H}_x(\vec{r}) = \frac{1}{4\pi} \left[\frac{2b}{a^3} \right] \quad (1.6)$$

Wird der magnetische Dipol nun um 90° gegen den Uhrzeigersinn gedreht und der Sensor bleibt an der gleichen Position wie zuvor, ergeben sich folgende Vektoren

$$(\vec{r}) = \begin{pmatrix} r_x = a \\ r_y = 0 \\ r_z = 0 \end{pmatrix} \quad (\vec{y}) = \begin{pmatrix} y_x = 0 \\ y_y = b \\ y_z = 0 \end{pmatrix} \quad (1.7)$$

Es lässt sich die Formel zur Berechnung des Feldes nun in Y-Richtung erneut vereinfachen.

$$\vec{H}_y(\vec{r}) = \frac{1}{4\pi} \left[-\frac{b}{a^3} \right] \quad (1.8)$$

Das Verhältnis von H_x zu H_y beträgt also

$$\vec{H}_x(\vec{r}) = -2\vec{H}_y(\vec{r}) \quad (1.9)$$

Das Feld eines magnetischen Dipols weist also auf der Achse seiner Magnetisierung, bei gleichem Abstand, ein Feld mit der doppelten Feldstärke im Vergleich zur orthogonalen Achse auf. Dieses Verhalten und die daraus resultierenden Sensorwerte eines runden Sensorarrays sind in den Abbildungen 1.10 und 1.9 gezeigt. Der magnetische Dipol wird für die folgende Betrachtung nun um einen Drehwinkel ϕ in der X/Y-Ebene verdreht.

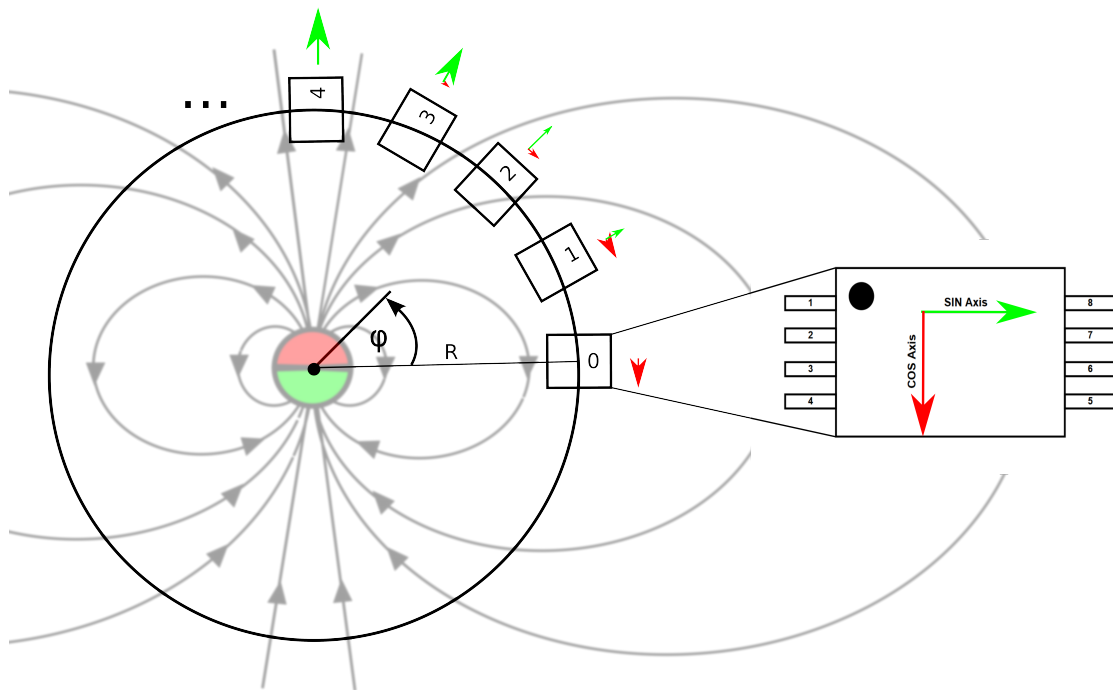


Abbildung 1.9: Skizze der Abtastwerte eines runden Sensorarrays aus Winkelsensoren des Typs CT310 im Feld eines magnetischen Dipols

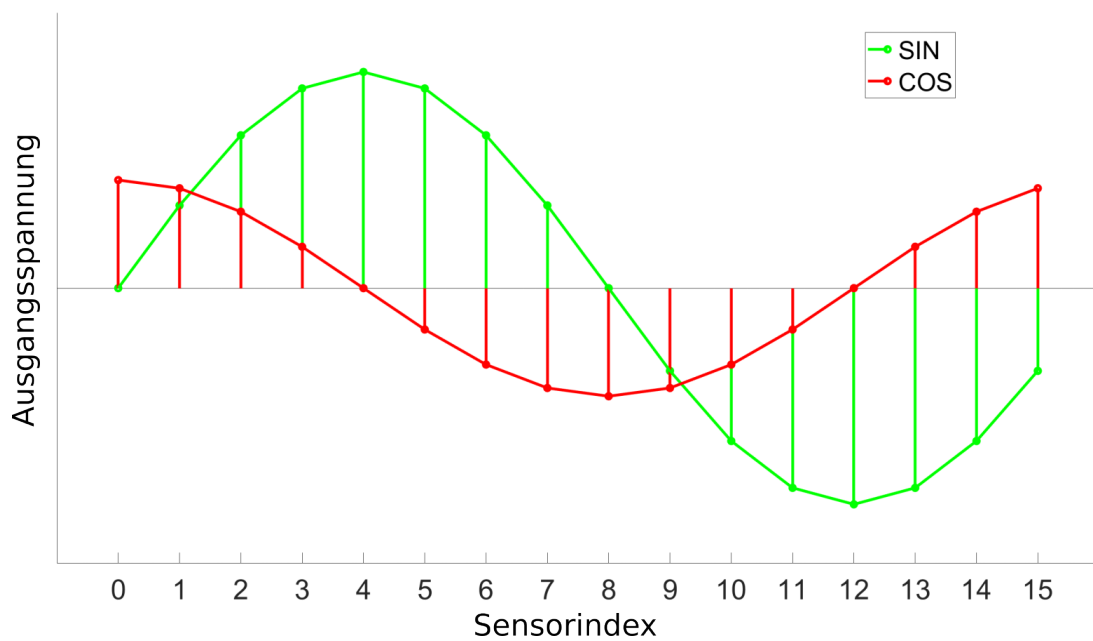


Abbildung 1.10: Darstellung der Ausgangsspannungen der Sensoren aus Abbildung 1.9

Nach einer idealen Abtastung ergeben sich folgende diskrete Abtastwerte (Formel 1.10):

$$x[n] = U_{Max} \cdot \sum_{n=0}^{15} \cos\left(\frac{2\pi n f}{16} + \phi\right) + i \cdot \sin\left(\frac{2\pi n f}{16} + \phi\right) \quad (1.10)$$

In Schreibweise mit komplexer e-Funktion ergibt sich also folgende Summe:

$$x[n] = U_{Max} \cdot \sum_{n=0}^{N-1} e^{+*i \cdot \left(\frac{2\pi n f}{N} + \phi\right)} \quad (1.11)$$

Es ergibt sich nach einer diskreten Fouriertransformation von Formel 1.11 folgender Ausdruck [5]:

$$X(k) = \mathcal{F}x[n] = U_{Max_ADC} \cdot e^{-i\phi} N \delta[k - f] \quad (1.12)$$

Für $f = 1$ und $k = 1$ ergibt sich folgender Winkel θ :

$$\theta = \arctan\left(\frac{\text{imag}(X(1))}{\text{real}(X(1))}\right) = \arctan\left(\frac{\sin(\phi)}{\cos(\phi)}\right) = \phi \quad (1.13)$$

θ entspricht dem Drehwinkel unseres Magneten ϕ , welcher Für den realen Fall, der in Abbildung 1.9 gezeigt ist, ergeben sich folgende Abtastwerte.

$$x[n] = U_{Max} \cdot \sum_{n=0}^{N-1} \frac{1}{2} \cos\left(\frac{2\pi n f}{N} + \phi\right) + i \cdot \sin\left(\frac{2\pi n f}{N} + \phi\right) \quad (1.14)$$

Wird diese Folge an Abtastwerten der diskreten Fouriertransformation unterzogen ergeben sich folgende Werte im Frequenzbereich:

$$\begin{aligned} X(k) &= \mathcal{F}x[n] \\ &= U_{Max_ADC} \cdot e^{-i\phi} \left(\frac{N}{4} (\delta[k - f] + \delta[k + f - N]) + \frac{N}{2} (\delta[k - f] - \delta[k + f - N]) \right) \end{aligned} \quad (1.15)$$

Wird nun angenommen, dass $f = 1$, $N \neq 0$ und das Spektrum an der Frequenz $k = 1$ betrachtet wird entfallen die Terme mit $\delta[k + f - N]$. Diese Annahmen kann getroffen werden, da die durch einen magnetischen Dipol zu erwartenden Signale aus einer komplexen Sinusschwingung und einer reellen Kosinusschwingung mit Frequenz 1 bestehen

(Siehe Abb.1.10). Es bleibt folgender Term:

$$X(k) = \mathcal{F}x[n] = U_{Max_ADC} \cdot e^{i\phi} \delta[k - f] \left(\frac{N}{4} + \frac{N}{2} \right) \quad (1.16)$$

$$X(k) = \mathcal{F}x[n] = U_{Max_ADC} \cdot \frac{3}{4} N \cdot e^{i\phi} \delta[k - f] \quad (1.17)$$

Im Vergleich zu Formel 1.12 ändert sich lediglich der Betrag der Funktion an der diskreten Frequenz $k=1$ bei Annahme von $f=1$. Der über die Formel 1.13 bestimmte Winkel bleibt jedoch gleich. In der Theorie ist es also möglich, den Drehwinkel des Magneten in der X/Y-Ebene durch eine komplexe Fouriertransformation der Signale eines runden Sensorarrays zu bestimmen, obwohl die Ausbreitung des Feldes sich nicht in alle Richtungen gleich verhält.

2 Hardware-Entwurf des Sensor-Arrays

In diesem Kapitel wird die Entwicklung der Hardwareplatine näher behandelt. Es werden Informationen über die Anforderungen an die Form und Funktion erklärt, die Schaltungsentwicklung und die Auslegung der Bauteile werden beschrieben. Abschließend wird auf die Bestückung und die Kompatibilität der Platine mit dem Mikrocontroller des Messaufbaus eingegangen.

2.1 Entwicklung der Sensorplatine

Um die nötigen Bauteile auf der Platine unterzubringen, ist sie kreisförmig mit einem Durchmesser von 63.3 mm. Außerdem befinden sich in einem Abstand von 90° 6 mm lange, abgerundete Nasen mit einer Öffnung zum Befestigen mit Schrauben der Größe M3. auf einer Seite der Platine ist eine 9 mm breite und 32 mm lange rechteckige Erweiterung für die Integration des Pin-Headers der Platine. In der Mitte der Sensorplatine befindet sich eine runde Öffnung mit 25 mm Durchmesser um die Platine auf die Nuss des Schraubwerkzeugs zu setzen, welche für Testzwecke für das metrische ISO-Regel-Gewinde M8 konzipiert ist. Die Platine beinhaltet in ihrer Grundform ein Sensorarray aus 16 kreisförmig angeordneten TMR-Magnetfeldsensoren im Thin Film Small Outline Package (TSSOP)-Gehäuse mit einem Radius von 35 mm. Die Anzahl an Sensoren kann in der Theorie beliebig erweitert werden, um eine höhere Auflösung zu erreichen und ist auf 16 begrenzt worden, um den Aufwand für die Entwicklung der Platine nicht unnötig zu erhöhen. Die Unterbringung von weiteren Sensoren und Höhere Formfaktoren können zum Beispiel durch mehrlagige Platinen, kleinere Packages, oder effizientere Anordnung der Bauteile erreicht werden.

Um die verschiedenen Sensoren auf der Platine über einen bzw. zwei analoge differentielle Busse auszulesen, müssen sie im Multiplexverfahren auf die Busse geschaltet werden. In den bisherigen Realisierungen von magnetischen Sensorarrays im Rahmen des Projektes

ISAR werden die Ausgänge der Sensoren hierfür über Integrated Circuit (IC)s mit analogen Schaltern auf die Busse geschaltet [4]. Diese werden von einem zentralen Multiplexer (MUX) geschaltet, der binär über Auswahlleitungen mit General Purpose Input-Output (GPIO) Pins eines Mikrocontrollers angesteuert wird.

Da für die Anwendung in einem Schraubwerkzeug ein hoher Formfaktor von Interesse ist, wurde zusätzlich zu dieser Funktionsweise für diese Arbeit eine zweite Platine entwickelt, bei welcher die Schalter an den Ausgängen der Sensoren durch Dioden ersetzt werden. Der zentrale Multiplexer schaltet nun statt den Schaltern an den Ausgängen der Sensoren die Stromversorgungen der Sensoren. Durch die Dioden kann verhindert werden, dass die Messbrücken der Sensoren über die Busleitungen parallel auf Ground geschaltet werden, was das Messergebnis verfälscht.

2.2 Schaltungsprinzip des Arrays

2.2.1 Multiplexvariante

In dieser Variante der Platine werden die Ausgänge der Sensoren über Schalter in ICs auf den jeweiligen Bus geschaltet. Hierfür wird für jeden Ausgang der Sensoren ein Schalter benötigt. Bei zwei differentiellen Ausgängen werden also vier Schalter pro Sensor benötigt. Da es nicht möglich war, ICs mit vier gekoppelten Schaltern zu finden, welche über eine einzige Enable-Leitung geschaltet werden, wurden ICs mit vier Schaltern und individuellen Enable-Eingängen gewählt und anschließend im Platinenlayout alle Enable-Eingänge mit einer Busleitung verbunden. Diese Busleitungen werden von einem analogen 16-Kanal-Multiplexer geschaltet.

Da der digitale Multiplexer seine geschalteten Ausgänge lediglich mit einem Common-Input verbindet, ist das Potential an den nicht geschalteten Ausgängen undefiniert. Um zu vermeiden, dass bei der Steuerung der Schalter der Sensorausgänge unerwartete Fehler auftreten ist deshalb an jede Enable-Leitung ein Weak-Pulldown Widerstand von 10 k Ω auf Masse (GND) geschaltet.

Bei den Schaltern der Sensorausgänge handelt es sich um den IC CD74HCT4066 der Firma Texas Instruments. Für den zentralen Multiplexer wird der IC CD74HCT4067 des selben Herstellers verwendet. Nur mit Multiplexerchips des HCT- Typs ist es möglich die Platine mit 5V und zu gleich die Selectleitungen mit $< 5V$ (Low-Voltage Transistor-Transistor Logic (LVTTTL) 3.3V) zu betreiben. Werden die Chips des HC-Typs genutzt, welche sich durch eine höhere Störfestigkeit auszeichnen, muss die an den Selectleitungen

angelegte Spannung mindestens $0.7 \cdot$ Betriebsspannung (VCC) betragen[10][11]. Zur Unterdrückung von hochfrequenten Störsignalen auf der Betriebsspannung der Sensoren ist in der Nähe des Betriebsspannungspins jedes Sensors ein Bypass-Kondensator von 100 nF vorgesehen. Um die Betriebsspannung der gesamten Platine zu glätten, ist ebenfalls in der Nähe des Betriebsspannungspins der Platine ein Glättungskondensator von 10 uF vorgesehen.

In den Abbildungen 2.1 ist die Schaltung der Multiplexerplatine in einem Schaltungsdiagramm dargestellt. Das Schaltungsprinzip ist dabei zur Vereinfachung für zwei Sensoren ohne Pull-Up-Widerstände an den Enableleitungen und ohne Betriebsspannungsvorsorgung dargestellt.

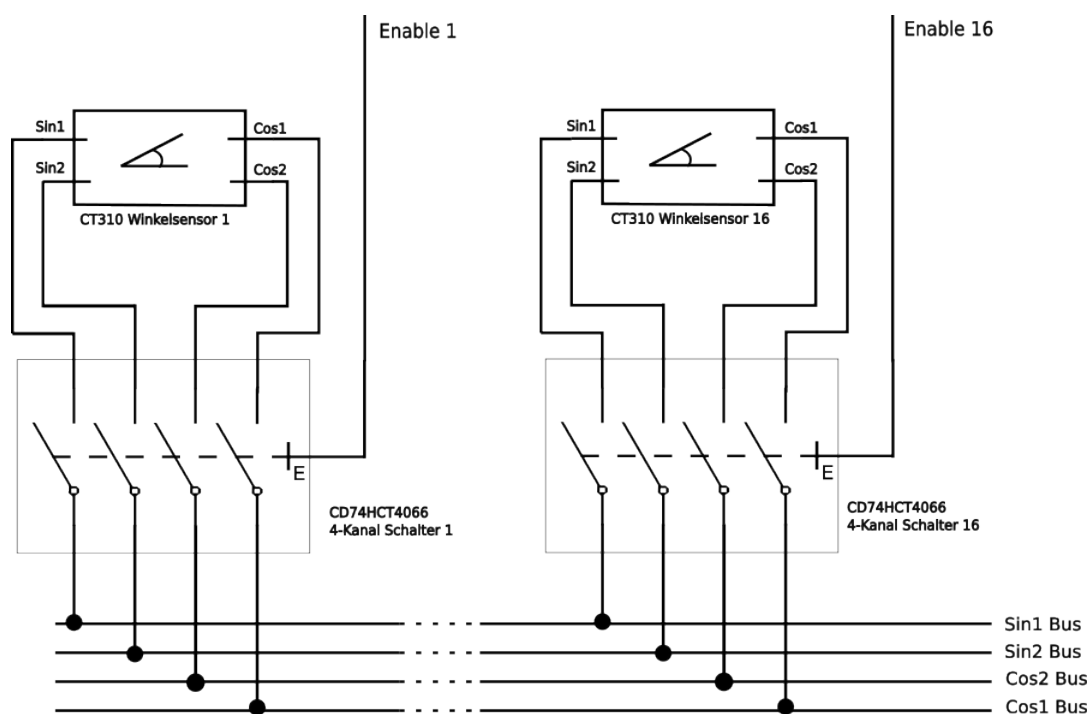


Abbildung 2.1: Schaltbild der Funktionsweise der Multiplexerplatine mit 4 Kanal Schalter und gemultiplexter Enableleitungen

Das Layout der Multiplexerplatine kann in 16, sich für jeden Sensor wiederholende, gleich aufgebaute Segmente unterteilt werden. Diese Segmente bestehen aus dem Sensor, dem Sensorschalter sowie einem Pull-Up-Widerstand für die Enable-Leitung des Sensorschalters und einem Bypasskondensator vor den Betriebsspannungspins des Sensors. Eines dieser Segmente ist in Detailansicht in Abbildung 2.5 gezeigt. Die einzelnen Teile dieser Segmente werden axial vom Mittelpunkt wegführend über Leiterbahnen miteinander

verbunden. Diese axialen Verbindungen werden auf der Oberseite der Platine gelegt (Abbildung A.1 links). Die radialen Verbindungen für die Busleitungen der Sensorausgänge sowie die Enableleitungen und der Betriebsspannung werden auf der Unterseite der Platine gelegt (Abbildung A.1 rechts).

2.2.2 Diodenvariante

In der Diodenvariante der Platine werden die Ausgänge der Sensoren über Dioden auf die Busse geschaltet. Der zentrale Multiplexer schaltet nun die Betriebsspannungen der Sensoren und nicht mehr die Schalter-ICs. Dies ist möglich, da an den Ausgängen der Sensoren nie ein negatives Signal abfällt und die Diode damit im Betrieb nur in Flussrichtung geschaltet wird.

Bei den Messbrücken der nicht geschalteten Sensoren wird der Ausgang über die Brücke auf GND gezogen. An den Dioden dieser Sensoren liegt also eine Spannung entgegen der Flussrichtung an. Sie leiten also nicht und der Brückenwiderstand des geschalteten Sensors wird nicht beeinflusst.

Für den zentralen Multiplexer der Diodenplatine wird wie auch in der Multiplexerplatine ein Texas Instruments CD74HCT4067 verwendet. Als Dioden an den Ausgängen der Sensoren werden 1N5817WS in SMD-Bauweise des Herstellers Diodes Incorporated genutzt.

Auch auf dieser Platine sind an den Betriebsspannungen der Sensoren 100 nF und an der Betriebsspannung der Platine 10 uF Kondensatoren zur Glättung der Betriebsspannung vorgesehen

Eine vereinfachtes Schaltungsprinzip der Diodenplatine ist in ähnlicher Weise wie bei der Multiplexerplatine in der Abbildung 2.2 gezeigt.

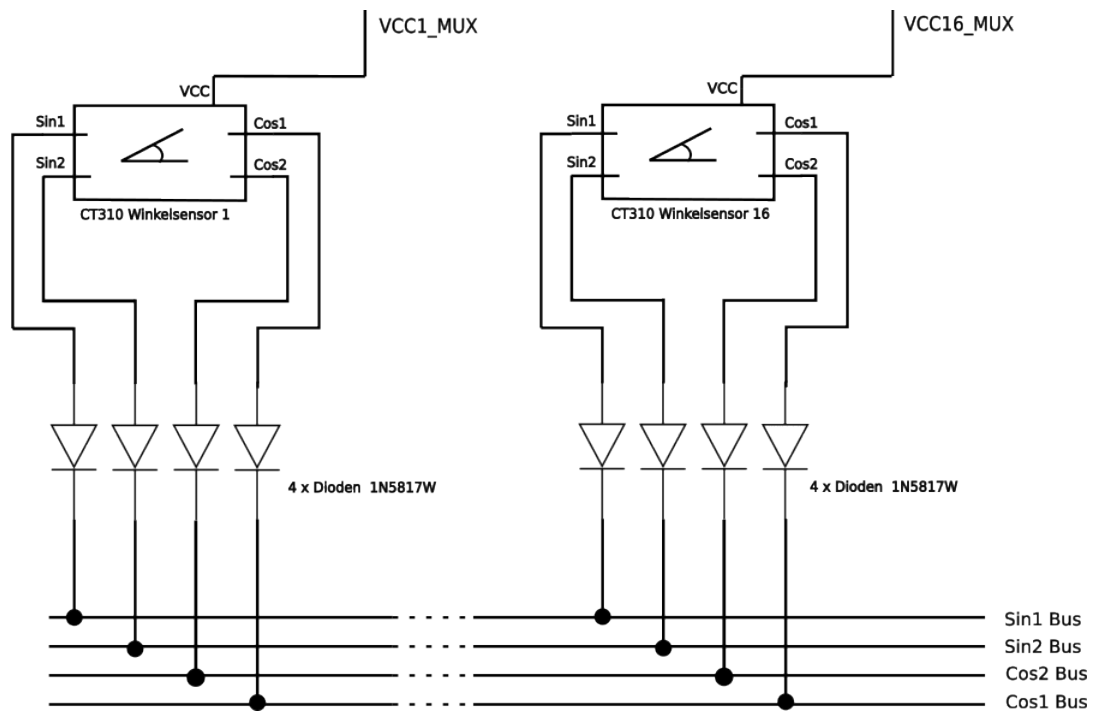


Abbildung 2.2: Schaltbild der Funktionsweise der Diodenplatine mit gemultiplexter Stromversorgung der Sensoren

2.2.3 Auswahl und Auslegung der Bauteile

Als Magnetfeldsensoren wurden TMR-Sensoren des Typs CT310 des Herstellers Crocus Technology ausgewählt. Wie schon genauer in Kapitel 1.2.2, beschrieben, zeichnen sich TMR-Sensoren durch ihre hohe Empfindlichkeit und dadurch hohe Ausgangsspannungsdifferenz aus. Die Sensoren können somit ohne Verstärkerschaltung betrieben und direkt auf einen Analog Digital Converter (ADC) geschaltet werden.

Für den zentralen Multiplexer wird ein analoger 16-Kanal-Multiplexer des Typs CD74HCT4057 gewählt. Im Fall der Diodenplatine kann der Chip problemlos betrieben werden, da er mit der Betriebsspannung der Sensoren ein analoges Signal schaltet. Für den Betrieb in der Multiplexerschaltung müssen Pullupwiderstände an den digitalen Enable-Eingängen der Sensoren vorgesehen werden. Diese Widerstände sind in SMD Bauform in der Größe 0602 vorgesehen.

Auch die Bypasskondensatoren an den Sensoren sind in der Größe 0602 vorgesehen. Der Glättungskondensator an der Betriebsspannung der Platine ist auf beiden Platinen in der Größe 1206 vorgesehen.

Als Schalter für die Sensorausgänge werden ebenfalls analoge Schalter des Typs CD74HCT4066 genutzt. Diese beinhalten 4 analoge parallele Halbleiterschalter in einem TSSOP14-Package.

Wie bereits zuvor erwähnt kann die Platine sowohl mit Multiplexerbauteilen für Metall-Oxid-Halbleiter-Feldeffekttransistor (MOSFET)-Pegel (HC-Reihe) als auch LVTTTL (HCT-Reihe) betrieben werden. Bei einem Betrieb mit Bauteilen der HC-Reihe muss auf einen High-Pegel der Selectleitungen von mindestens $0,7 \cdot VCC$ geachtet werden.

2.3 Entwicklung der Schaltung und des Platinenlayouts

An die Platine werden folgende grundlegende Anforderungen gestellt. Sie darf einen Innendurchmesser von 25 mm nicht unterschreiten und muss ein kreisförmiges Array von magnetischen Winkelsensoren beinhalten. Die Platine muss außerdem am Schraubwerkzeug zu befestigen sein.

In Abbildung 2.4 ist die Platine in ihrer einfachsten Form dargestellt. In einem kreisrunden Abstand von 18.75 mm befindet sich ein Array von 16 Winkelsensoren. Auf ihrer rechten Seite ist eine rechteckige Erweiterung vorgesehen, um einen 2.54 mm Pinheader für 12 Pins in 2 Reihen mit je 6 Pins zu integrieren. In einem Distanz von 35 mm vom Mittelpunkt der Platine sind mit 90°Versatz Schraublöcher für M3-Schrauben an runden

Ausbuchtungen vorgesehen.

Um die Platine auszulesen wird ein Mikrocontroller benötigt, welcher folgende Bedingungen erfüllt:

1. 5 x GPIO als Selectleitungen für MUX und Enable
2. 2 x Differentielle ADC
3. 2 x Universal Asynchronous Receiver / Transmitter (UART)-Schnittstelle (bzw. UART over Universal Serial Bus (USB)) für Winkelgeber und Kommunikation mit dem PC

Diesen Anforderungen entspricht das Mikrocontroller Evaluation-Board EK-TM4C1294XL der Firma Texas Instruments. Dieses wird bereits in vielen Bereichen der Hochschule genutzt. Dies vereinfacht es schnell und ohne viel Aufwand externe Hilfe für die Arbeit mit dem Mikrocontroller zu erhalten.

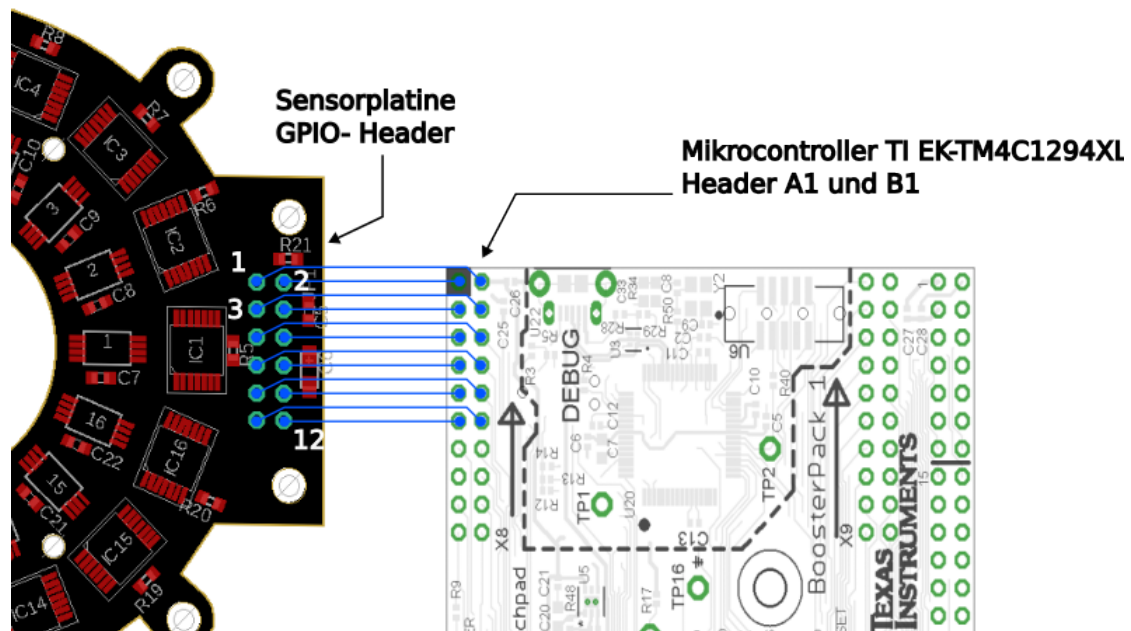


Abbildung 2.3: Belegung der GPIO Pins der Sensorplatine. Exakte Bezeichnungen der GPIO Pins in Tabelle 2.1

Pin-Nmr (PCB)	Pin-Name (PCB)	GPIO (EK)	Funktion
1	+5V	+5V	VCC (+5V / +3.3V)
2	n.C	n.C	n.C
3	GND	GND	Referenzpotential
4	S0	PE4	Multiplexer Select 0
5	COS1_BUS	PE0	Cos Differential Output 1 (Cos+)
6	S1	PC4	Multiplexer Select 1
7	COS2_BUS	PE1	Cos Differential Output 2 (Cos-)
8	S2	PC5	Multiplexer Select 2
9	SIN1_BUS (Platine 2022), aktueller Stand in Eagle: SIN2_BUS	PE2	Sin Differential Output 1 (Sin+) (Platine 2022), aktueller Stand in Eagle: Sin Differential Output 2 (Sin-)
10	S3	PC6	Multiplexer Select 2
11	SIN2_BUS (Platine 2022), aktueller Stand in Eagle: SIN1_BUS	PE3	Sin Differential Output 2 (Sin-) (Platine 2022), aktueller Stand in Eagle: Sin Differential Output 1 (Sin+)
12	E	PE6	Multiplexer Enable (low-activ)

Tabelle 2.1: Pinbelegung der Platine mit entsprechendem GPIO auf dem Mikrocontroller Evaluation-Kit EK-TM4C1294XL. Aufgrund eines Fehler im Routings der Platine waren die Signale SIN1_BUS_TP und SIN2_BUS_TP für die erste Lieferung an Platinen vertauscht. Dies ist in den EAGLE-Files verbessert worden. Stand: 13.06.2023 [12]

2.4 Umsetzung, Fertigung und Bestückung

Die Platinen werden bei einem Leiterplattenhersteller bestellt und anschließend im Labor per Hand bestückt. Bei der Bestückung ist auf eine exakte Platzierung der Sensoren zu achten, da jede Verkipfung oder Schrägstellung zu einem Winkelfehler in der Messung beitragen kann. Um diesen Fehler zu verringern, sollten bei zukünftigen Bestellungen der Platinen Stencils für eine Bestückung im Reflow-Ofen bestellt werden oder eine maschinelle Bestückung beim Hersteller in Betracht gezogen werden. Dadurch können die Bauteile sehr präzise platziert werden.

Bei der händischen Bestückung der Platine wird der zentrale Multiplexer zuerst eingelötet und seine Funktionalität überprüft. Nachdem diese bestätigt werden kann, wird die

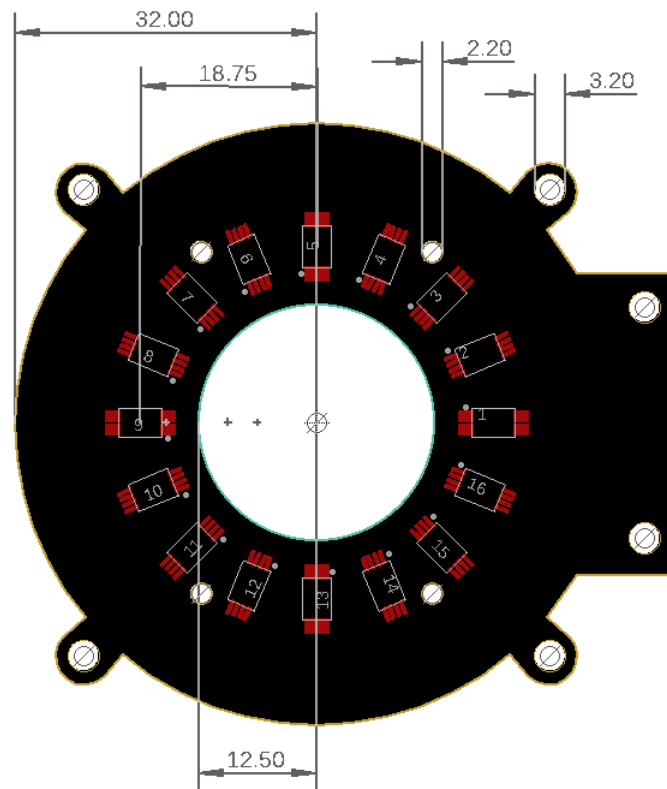


Abbildung 2.4: Abmessungen der grundlegenden Platine in mm mit TMR-Sensoren

erste Sensorschaltung, bestehend aus Sensor und Schalter bzw. Dioden eingelötet und anschließend deren Funktionalität überprüft.

Nach und nach werden die weiteren Sensor-ICs bestückt und überprüft, bis die Platine schließlich fertig bestückt ist.

Mit der Bestückung der Bypass-Kondensatoren der Sensorbetriebsspannung wird gewartet, bis eine Überprüfung der Platine mit einem Oszilloskop erfolgt.

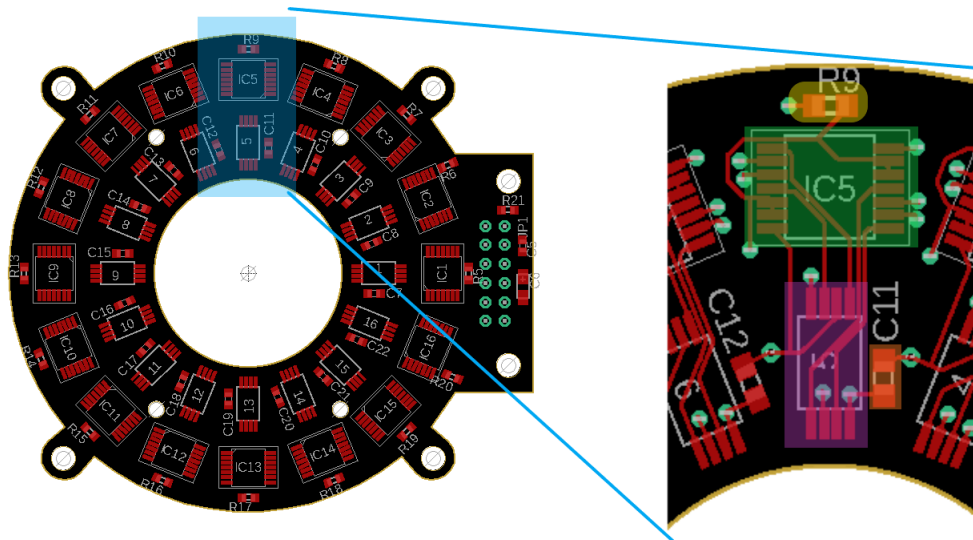


Abbildung 2.5: Aufbau der Multiplexerplatine. Detaildarstellung einer Sensorschaltung. Gelb: Pull-Up-Widerstand für Enable, Grün: Sensorschalter, Lila: Magnetfeldsensor, Orange: Bypasskondensator

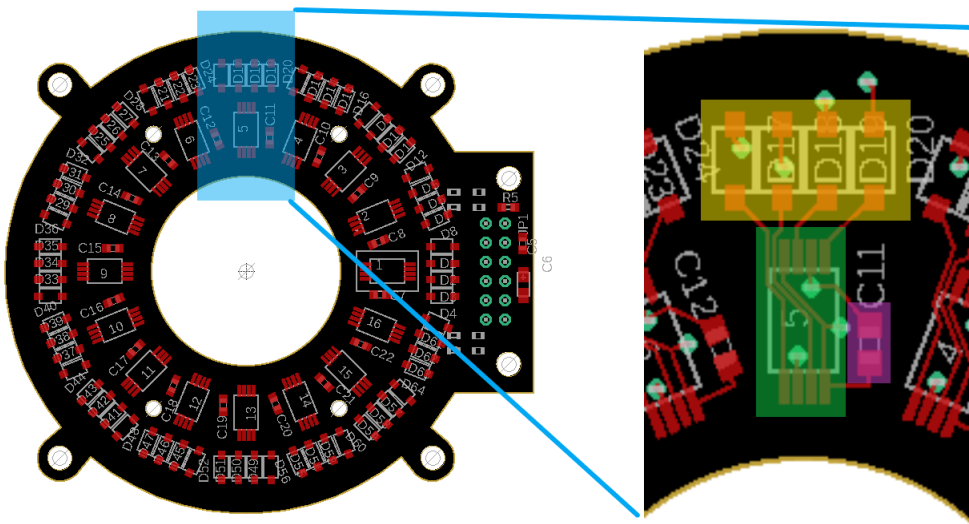


Abbildung 2.6: Aufbau der Diodenplatine. Detaildarstellung einer Sensorschaltung. Gelb: Dioden, Grün: Magnetfeldsensor, Lila: Bypasskondensator

3 Software-Entwicklung

In diesem Kapitel wird die Entwicklung der zum Auslesen der Platine nötigen Software beschrieben und die Inbetriebnahme sowie die Beobachtung des Schaltverhalten beschrieben.

Im Beginn wird ein Testplan über die Vorgehensweise zur Überprüfung der Funktion der Platine erläutert. Im Anschluss wird die Entwicklung der Software beschrieben. Zum Schluss dieses Kapitels, werden die Ergebnisse der Erprobung dargestellt und erklärt.

3.1 Planung der Inbetriebnahme

Um die Funktionalität der Platine zu überprüfen, wird eine Platine mit den für das Auslesen eines Sensors nötigen Bauteilen bestückt (zentraler Mux, Strombegrenzungswiderstand, Pinheader). Außerdem wird die Schaltung des ersten Sensorsegments bestückt (Sensor, Sensorschalter, Pull-Up-Widerstand). Die übrigen Sensorsegmente bleiben unbestückt, um Fehlerquellen zu reduzieren und die Grundfunktion der Platine - das Auslesen eines Sensors - zu überprüfen.

Der gesamte Prozess der Inbetriebnahme ist in 3 Testfälle aufgeteilt. Diese Testfälle werden in der Tabelle 3.1. In dieser Tabelle werden die Testfälle beschrieben, ein erwartetes zufriedenstellendes Ergebnis erklärt und das tatsächlich Beobachtete Ergebnis verzeichnet.

3.2 Aufbau und Test

Die Analog-Digital-Wandlung und das Abspeichern der Sensorwerte in einem Array wird mit einem Mikrocontroller vom Typ TM4C1294ncpt des Herstellers Texas Instruments realisiert. Der Mikrocontroller wird auf einem Evaluation-Board des Typs EK-TM4C1294XL genutzt.

Im Messaufbau werden die Referenzwerte für die Bestimmung des absoluten Winkels einer Motorwelle durch einen Winkelgeber des Typen AMT212B der Firma CUI-Devices generiert. Dieser besitzt eine RS-485 Schnittstelle und wird über eine Wandlerplatine von UART-TTL auf RS485 durch den gleichen Mikrocontroller über UART ausgelesen.

Die Übertragung der Daten an den PC zur Abspeicherung in einer Comma Separated Value (CSV)-Tabelle und zur weiteren Verarbeitung findet über den USB-Debug-Port durch eine emulierte UART Verbindung statt.

Testbezeichnung	Beschreibung	Erwartung	Ergebnis
Test einer Sensorschaltung	Ein Sensor und die zur Auswertung notwendige Schaltung (Dioden, Multiplexer) werden bestückt. Die Schaltung wird elektrisch überprüft und Betriebsspannung über eine Strombegrenzung angelegt und langsam erhöht. anschließend wird sie über den Mikrocontroller ausgelesen.	Keine Kurzschlüsse oder Unterbrechungen. Bei Auswertung variierende Ausgangswerte bei verschiedenen Magnetstellungen	erfolgreich
Test der voll bestückten Platine	Die Platine wird voll bestückt und elektrisch überprüft. Die Betriebsspannung wird über eine Strombegrenzung angelegt und langsam erhöht. Nach Anlegen der vollen Betriebsspannung wird die Platine über den Mikrocontroller ausgelesen	Keine Kurzschlüsse oder Unterbrechungen. Bei Auswertung erkennbares Sinus und Kosinussignal wie in Abbildung 1.10	erfolgreich
Test des Schaltverhaltens	Eine Sensorschaltung wird auf den Bus geschaltet und während des Schaltvorgangs werden die wichtigsten Spannungen und ihr Zeitverhalten auf dem Oszilloskop betrachtet. Diodenplatine: VCC_{Sensor} , Sensorausgang, Zeitbereich der Abtastung - Muxplatine: $Enable_{SensorMux}$, Sensorausgang, Zeitbereich der Abtastung	Erkenntnisse über den Schaltvorgang und das Einschwingverhalten der Sensorausgänge. Abschätzen des Abtastbereiches	Diodenplatine: Einschwingzeit ca. $< 2\mu sec$, Muxplatine: Einschwingzeit ca. $< 500n sec$

Tabelle 3.1: Testplan zur Inbetriebnahme der Platine

3.3 Entwicklung von Software

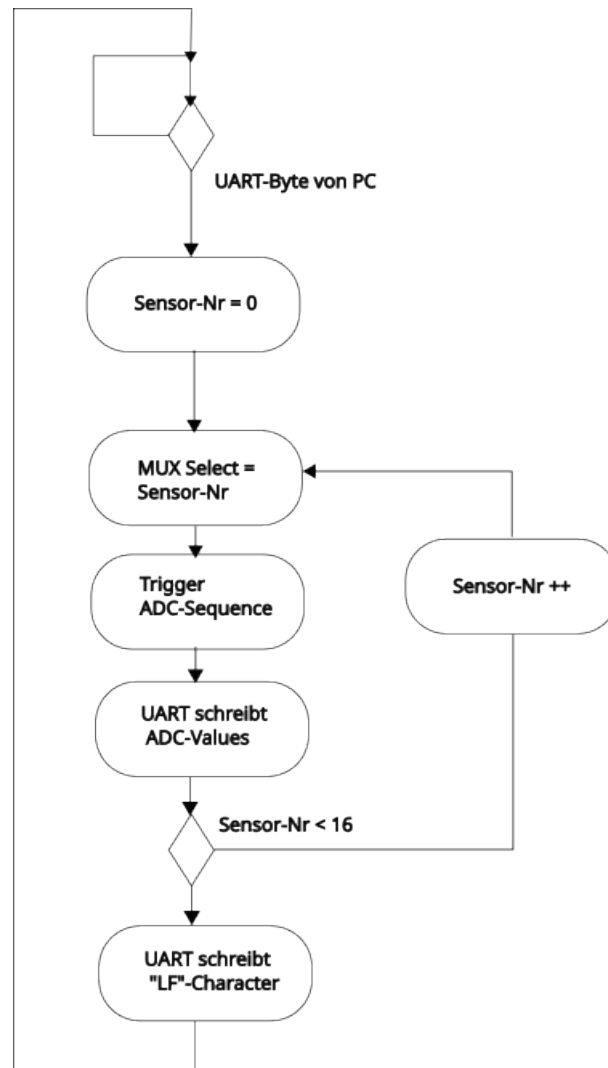


Abbildung 3.1: Vereinfachtes Ablaufdiagramm der Mikrocontroller-Routine zur Aufnahme und Übertragung der Sensorwerte.

Die Routine des Mikrocontrollers ist ausschließlich mit Blocking-Code geschrieben, da das System keine Anforderungen an Parallelität hat. Die Routine wird also in der Main-Schleife ausgeführt, ohne in eine Interrupt-Routine zu springen.

Um zu verhindern, dass die Routine bei einem Übertragungsfehler komplett blockiert oder falsche Daten überträgt, sind einige Sicherheitsmechanismen in den Code eingebaut. Ein Software-Watchdogtimer überwacht die Routine und löst im Falle eines länge-

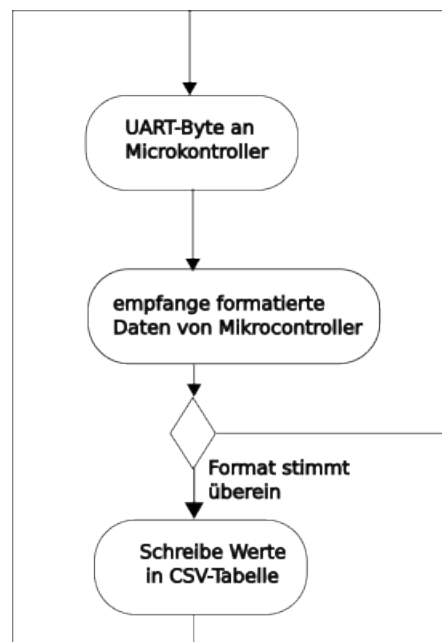


Abbildung 3.2: Vereinfachtes Ablaufdiagramm der Matlab-Routine am Laborrechner zur Aufnahme und Abspeicherung der Sensorwerte. Bei Mittelung finden mehrere Übertragung und eine Mittelwertbildung statt, bevor die Werte abgespeichert werden.

ren Timeouts einen Software-Reset aus. Außerdem werden die zu übertragenden Daten formatiert und mit einem Line-Feed-Character abgeschlossen. Am PC wird die Anzahl der übertragenen Bits überprüft und bei fehlender Übereinstimmung mit dem Format wird eine erneute Datenübertragung angefordert. Die Routine des Mikrocontrollers ist vereinfacht in Abbildung 3.1 dargestellt. Der Ablauf des Datenempfangs und der Abspeicherung in Matlab ist vereinfacht in Abbildung 3.2 gezeigt.

3.4 Darstellung der Ergebnisse

Nachdem die Platine auf Fehler überprüft worden ist und Kurzschlüsse oder Unterbrechungen ausgeschlossen werden konnten, wird das Schaltverhalten der Platine beobachtet. Hierbei müssen die Diodenplatine und die Multiplexerplatine getrennt von einander betrachtet werden. Bei der Multiplexerplatine werden die Sensorausgänge über analoge Multiplexer, welche als Schalter genutzt werden, auf die Signalbusse geschaltet. In diesem Fall ist es von Interesse, das Schaltverhalten von folgenden Signalen zu beobachten.

1. Die Spannung am Eingang des Sensormultiplexer-/schalters. Erst wenn diese Spannung einen Schwellwert von etwa $> 2V$ (HCT-Reihe der Multiplexer) überschreitet kann angenommen werden, dass das Signal auf den Signalbus geschaltet wird.
2. Die Spannung am Sensorausgang. Durch das Umschalten von Signalen muss mit Ladevorgängen gerechnet werden, welche zu Einschwingvorgängen führen. Die Effekte dieser Ladevorgänge auf der Multiplexerplatine sollten vergleichsweise gering ausfallen, da keine hohen Spannungs- oder Stromdifferenzen zwischen den geschalteten Signalen bestehen.
3. Ein Signal zur Abschätzung des Abtastbereiches der ADCs des Mikrocontrollers. Durch die Kenntnis über diesen Zeitbereich kann die Verzögerungszeit zwischen dem Schalten der Sensoren und dem Abtasten der ADCs geschätzt werden. Dieses Signal wird durch das Umschalten eines GPIO des Mikrocontrollers erzeugt.

Bei der Multiplexerplatine kann, statt des Schaltsignals am Eingang des Sensormultiplexers, die Betriebsspannung des Sensors betrachtet werden. Die Betriebsspannung ist in diesem Fall das Signal, welches zu einer Beschaltung des Sensors mit dem Signalbus führt.

Die Ergebnisse dieser Tests sind in den Abbildungen 3.3 bis 3.6 gezeigt. Für die Multiplexerplatine ist nach Umschalten der Sensorausgänge ein kurzer Einschwingvorgang erkennbar (Abbildung 3.3). Nach etwa 500 ns kann das Signal als eingeschwingen angenommen werden und eine Abtastung erfolgen. In Abbildung 3.4 ist eine Abtastung ohne Verzögerung zwischen dem Setzen der Selectsignale des Multiplexers und dem Triggern der ADC-Sequenz gezeigt. Diese führt zu einer Verzögerung von etwa 900 ns. Im Fall der Multiplexerplatine wäre eine Abtastung ohne Verzögerung theoretisch möglich. Da zu diesem Zeitpunkt in der Betrachtung der Schaltung keine Zeitanforderungen an das Auslesen der Platine gestellt werden, wird jedoch trotzdem eine Verzögerung von 200 μs vor der Abtastung in Software implementiert.

Im Fall der Diodenplatine ist das Zeitverhalten für eine Abtastung ohne Zeitverzögerung in Abbildung 3.6 gezeigt. Durch das Schalten der Betriebsspannungen der Sensoren müssen sich bei jedem Schaltvorgang die Kapazitäten in den Brücken der Sensoren, sowie der Dioden an den Ausgängen laden. In diesem Fall beträgt der Einschwingvorgang deshalb ca 2 μs . Eine Abtastung ist nun nicht mehr ohne Verzögerung möglich. Als Verzögerungszeit wird deshalb ebenfalls 200 μs in Software implementiert.

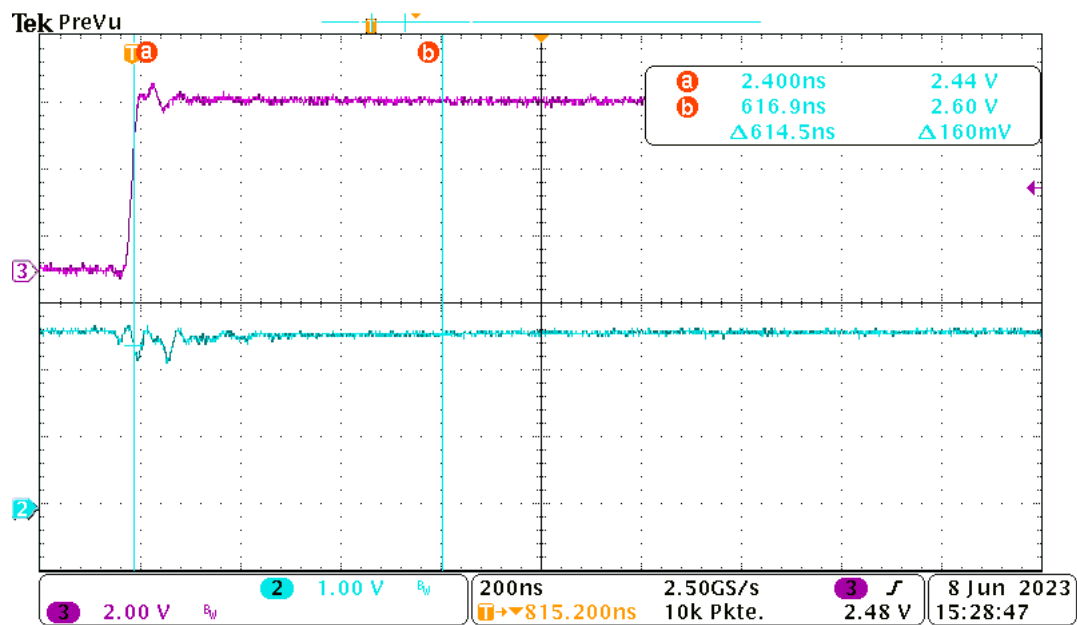


Abbildung 3.3: Beispielhafter Schaltvorgang einer Multiplexerschaltung.
 Oben(Magenta): Geschaltetes Selectsignal eines Sensor-Multiplexers.
 Unten(Cyan): Sin1-Ausgang des Sensors

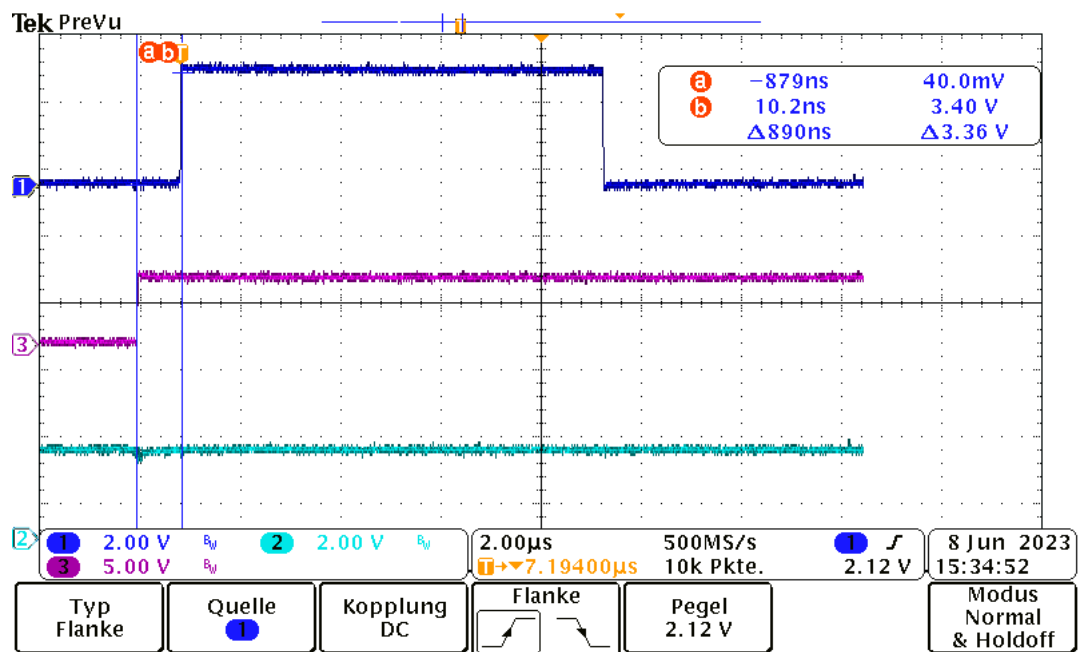


Abbildung 3.4: Beispielhafter Schaltvorgang einer Multiplexerschaltung. Oben(Blau): Zeitraum der ADC-Umwandlung (High-Pegel). Mitte(Magenta): Geschaltetes Selectsignal eines Sensor-Multiplexers. Unten(Cyan): Sin1-Ausgang des Sensors

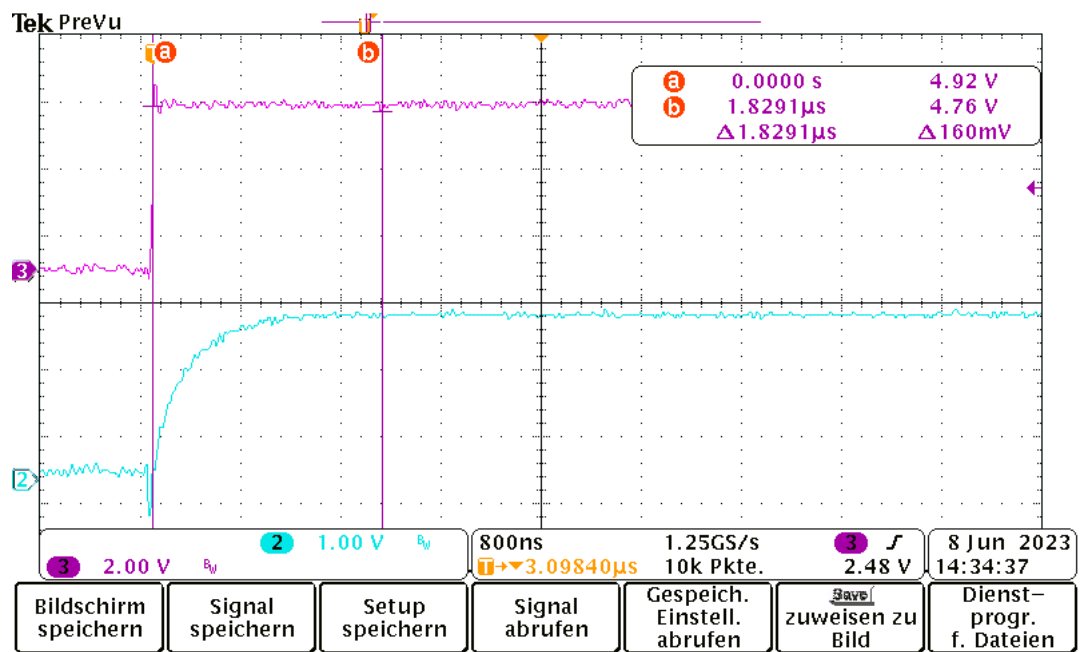


Abbildung 3.5: Beispielhafter Schaltvorgang einer Diodenschaltung. Oben(Magenta): Geschaltete Versorgungsspannung des Sensors. Unten(Cyan): Sin1-Ausgang des Sensors

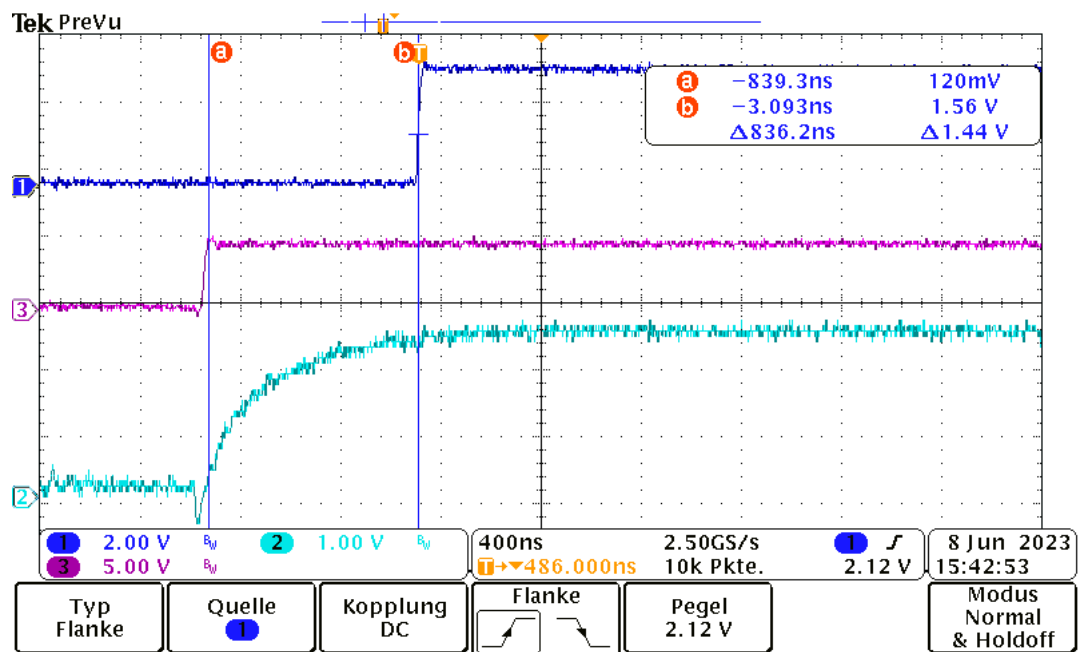


Abbildung 3.6: Beispielhafter Schaltvorgang einer Diodenschaltung. Oben(Blau): Zeitraum der ADC-Umwandlung (High-Pegel). Mitte(Magenta): Geschaltete Versorgungsspannung des Sensors. Unten(Cyan): Sin1-Ausgang des Sensors

4 Entwicklung des Messaufbaus

In diesem Kapitel wird die Entwicklung des Messaufbaus zur Auswertung der Platine beschrieben. Zu Beginn werden die Anforderungen an den Messaufbau erklärt. Anschließend wird der Messaufbau vorgestellt. Es wird hierbei auch näher auf die Konstruktion eingegangen.

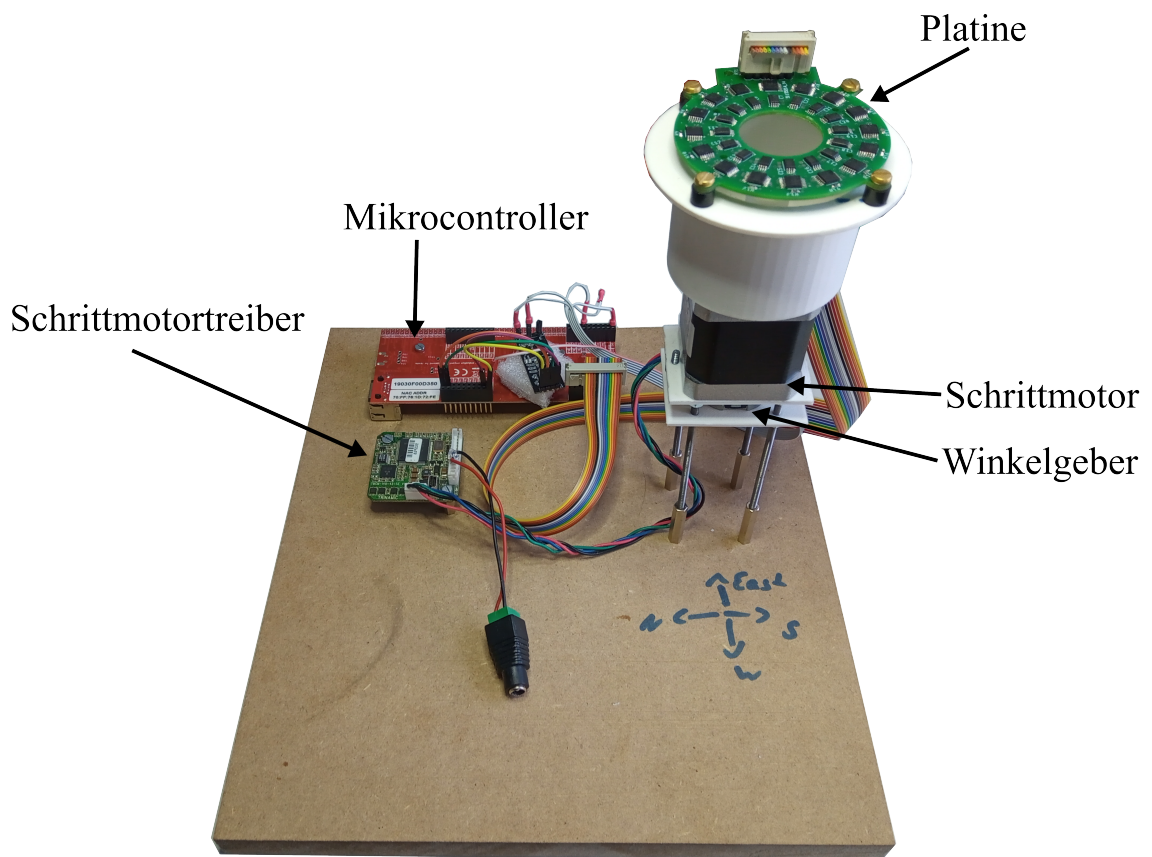


Abbildung 4.1: Bild des Versuchsaufbaus

4.1 Anforderung an die Messung

Der Messaufbau zum Testen der Platine muss ermöglichen, einen kleinen Magneten kontrolliert im Mittelpunkt der fixierten Platine zu drehen und den durch die Platine ermittelten Drehwinkel mit einem Referenzdrehwinkel hoher Genauigkeit zu vergleichen.

Hierzu werden auf einem Schrittmotor mit Doppelwelle über einen Adapter auf einer Seite die Platine und auf der anderen ein hochauflösender Winkelgeber installiert. Auf der Seite der Platine wird auf der Motorwelle der Magnet installiert, der beim Schraubwerkzeug auf dem Schraubenende sitzt. Dadurch, dass die Platine über starre Bauteile auf dem Schrittmotor installiert wird kann ein starkes Verkippen der Sensorplatine in Referenz zum Magneten vermieden werden.

In der Nähe des befestigten Schrittmotors werden der Mikrocontroller sowie der Schrittmotortreiber installiert. Über Flachbandkabel sind diese mit der Sensorplatine bzw. dem Schrittmotor verbunden.

4.2 Aufbau mit Schrittmotor und CUI-Encoder

Es ist erforderlich, die Platine und den Magneten über den Platinenadapter in ausreichender Entfernung zum Schrittmotor zu installieren, um Einflüsse auf die Ausbreitung des Feldes des Magneten durch die ferromagnetischen Bauteile des Schrittmotors zu vermeiden. Außerdem, kann so eine Einwirkung durch das Fremdfeld des stromdurchflossenen Schrittmotors verringert werden.

Die Bauteile des Aufbaus werden durch die vier Gewindekanäle an den Kanten des Schrittmotors mit langen Gewindestangen am Schrittmotor befestigt.

Der Winkelgeber wird an der Welle auf der Unterseite des Schrittmotors befestigt. Er wird über eine auf dem Motor aufliegende Platte durch zwei Schrauben an den Flügeln des Winkelgebers zentriert. Diese Schrauben dienen nicht der Befestigung des Winkelgebers. Über eine zweite Platte wird der Winkelgeber über vier Muttern an den Gewindestangen am Schrittmotor befestigt. Die Befestigung des Winkelgebers ist in der Abbildung 4.4 gezeigt

Der zylinderförmige Adapter der Sensorplatine wird an der Oberseite des Schrittmotors durch Muttern über die vier Gewindestangen auf dem Schrittmotor befestigt. Die Befestigung des Platinenadapters ist in der Abbildung 4.3 gezeigt.

4.3 **Entwicklung und 3D-Druck der Verbindungsteile**

Um eine schnelle Entwicklung des Messaufbaus zu ermöglichen, werden die Verbindungsteile für den Messaufbau per CAD-Software entwickelt und im Anschluss mit einem 3D-Drucker gedruckt. Die Entwicklung mit 3D-Druck ermöglicht es auch, Bauteile leicht anzupassen und schnelle Änderungen am Messaufbau vorzunehmen. So konnten Magnetadapter schnell hergestellt werden, mit welchen es möglich war, eine Verschiebung des Magneten in der Z-Achse zu simulieren. Ein weiterer Vorteil von mit Kunststoffen 3D-gedruckten Teilen ist, dass sie weder magnetisch noch elektrisch leitfähig sind. Dies verhindert eine Ablenkung des magnetischen Feldes, und die Wahrscheinlichkeit eines Kurzschlusses des Schrittmotors mit der Platine.

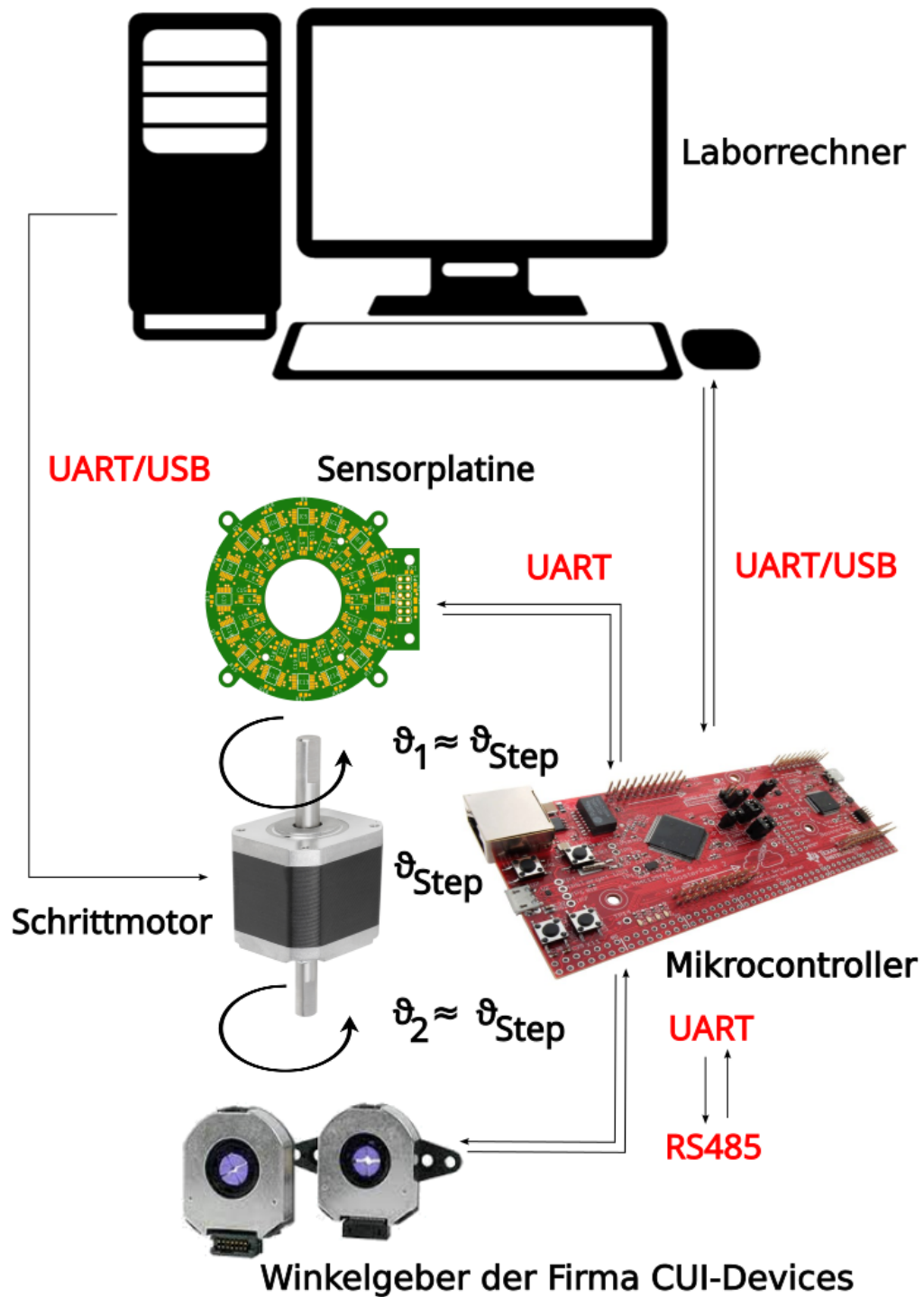


Abbildung 4.2: Skizze des Versuchsaufbaus und der Kommunikationsschnittstellen der einzelnen Elemente

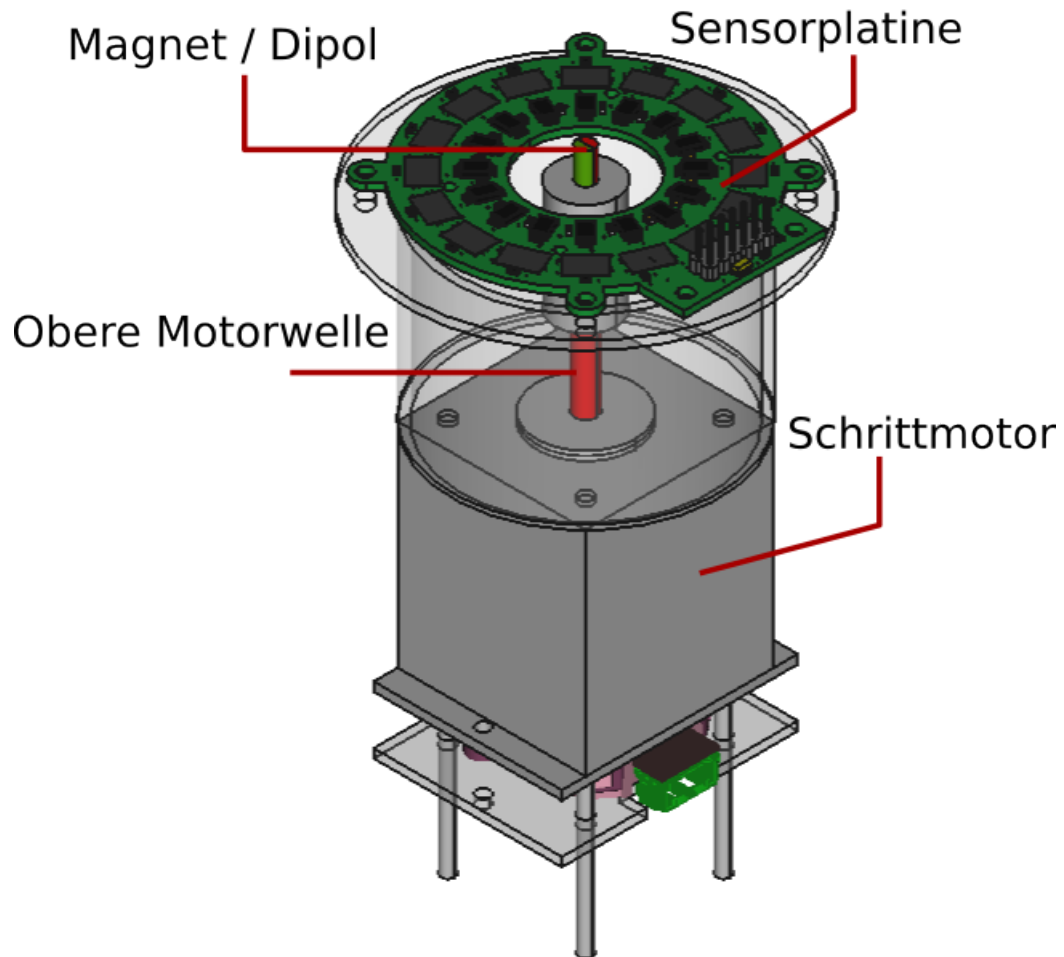


Abbildung 4.3: CAD-Modell des Versuchsaufbaus. Ansicht von oben. Die Platine ist über 2 mm hohe Abstandhalter mit 4 Schrauben am transparenten Adapter befestigt, welcher ebenso mit 4 Schrauben am Schrittmotor befestigt ist.

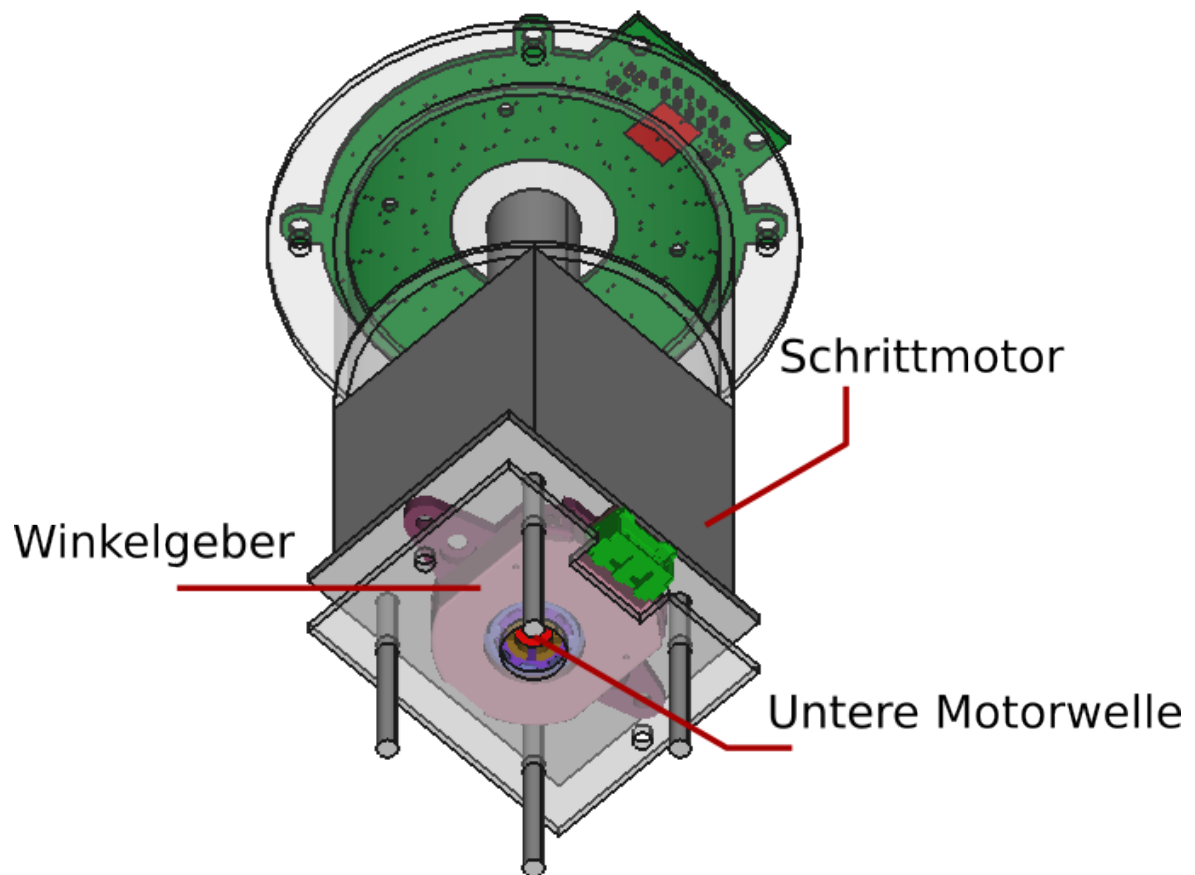


Abbildung 4.4: CAD-Modell des Versuchsaufbaus. Ansicht von unten. Die transparente Platte unter dem Winkelgeber befestigt ihn über 4 Muttern an den durch sie führenden Gewindestangen und damit am Schrittmotor.

5 Bewertung der Messergebnisse

Dieses Kapitel beinhaltet die Auswertung, der mit dem Messaufbau gemachten Messungen. Die Messungen werden beschrieben und graphisch dargestellt. Im Anschluss werden die Messungen interpretiert. Hierbei wird auch auf die Nutzung der Sensorplatine in einem Schraubwerkzeug genauer eingegangen. Zum Schluss werden mögliche Fehlerquellen behandelt.

5.1 Messwerte und graphische Auswertung/Darstellung

Nachdem die Funktionalität der Platine bestätigt wurde, kann sie am Platinenadapter des Messaufbaus befestigt werden. Nun wird ein radial magnetisierter Stabmagnet über einen Magnetadapter auf der Motorwelle angebracht. Der Magnet befindet sich auf gleicher Höhe im Zentrum der Platine.

Nach einer Abfrage aller Sensoren werden die Messwerte geplottet. Wird der Magnet nun auf dem Schrittmotor so lange gedreht, bis der Nordpol in Richtung des vierten Sensors zeigt, ergeben sich die Messkurven aus Abbildung 5.1. Aus den gemessenen Werten sind klar die in Abbildung 1.10 dargestellten zu erwartenden Kurven mit Sinus- und Cosinusverlauf zu erkennen.

5.2 Vergleich mit Messwerten des Winkelgebers

AMT212B-V der Firma CUI-Devices

Um die Präzision des mit der Platine gemessenen Winkels zu schätzen ist es notwendig, ihn mit einer Referenz von höherer Präzision zu vergleichen. Hierzu wird der kapazitiver Winkelgeber AMT212B-V der Firma CUI-Devices genutzt. Dieser kann seriell einen absoluten Drehwinkel ausgeben und verspricht dabei eine Auflösung des Winkels von 14 Bit. Die Winkeldifferenz bei Umschalten des Least Significant Bit (LSB) beträgt also

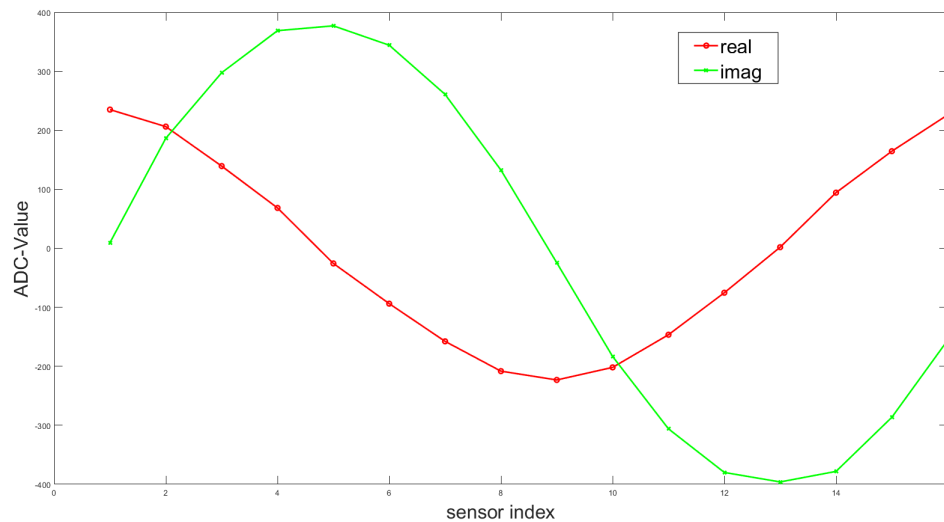


Abbildung 5.1: ADC-Abtastwerte der Sensoren bei Drehwinkel ca. 0°

0.02197° . In Abbildung 5.2 ist der Fehler des Winkelgebers zwischen zwei Messungen über 360° dargestellt. Ein regelmäßiges Kippen zwischen $-LSB$ und $+LSB$ ist zu beobachten. Schrittmotor und Winkelgeber ermöglichen also, mit guter Reproduzierbarkeit diskrete Referenzwerte über eine Drehung von 360° im Abstand von ca. 1.8° mit einer Präzision von $\pm 0.02197^\circ$ zu erreichen.

5.2.1 Multiplexerplatine

An allen 16 Sensoren der Multiplexerplatine kann das zu erwartende Signal mit guter Reproduzierbarkeit ausgelesen werden. Durch die in den Grundlagen beschriebene Theorie lässt sich nach Abspeichern der Werte an einem Laborrechner aus ihnen ein Drehwinkel bestimmen. Bei statischer Betrachtung des Magneten schwankt der über 20 Mittelungen berechnete Winkel ϕ mit ca. $-0.1^\circ < \phi < 0.1^\circ$ um einen Wert.

Nun wird der Magnet in 200 Schritten von $1,8^\circ$ um 360° gedreht. An jeder Position wird wie zuvor ein Winkel über 20 Mittelungen berechnet und abgespeichert. Es wird anschließend ein beliebiger Referenzwinkel des Winkelgebers gewählt. An diesem Referenzwinkel werden die aus der Sensorplatine und dem Winkel ermittelten Werte gleich dem Drehwinkel 0 gesetzt. Werden nun die Winkel der Sensorplatine über eine Drehung mit den Referenzwinkeln des Winkelgebers verglichen ergibt sich ein charakteristischer Fehler. Dieser absolute Fehler ist beispielhaft links oben in Abbildung 5.3 gezeigt. Dieser

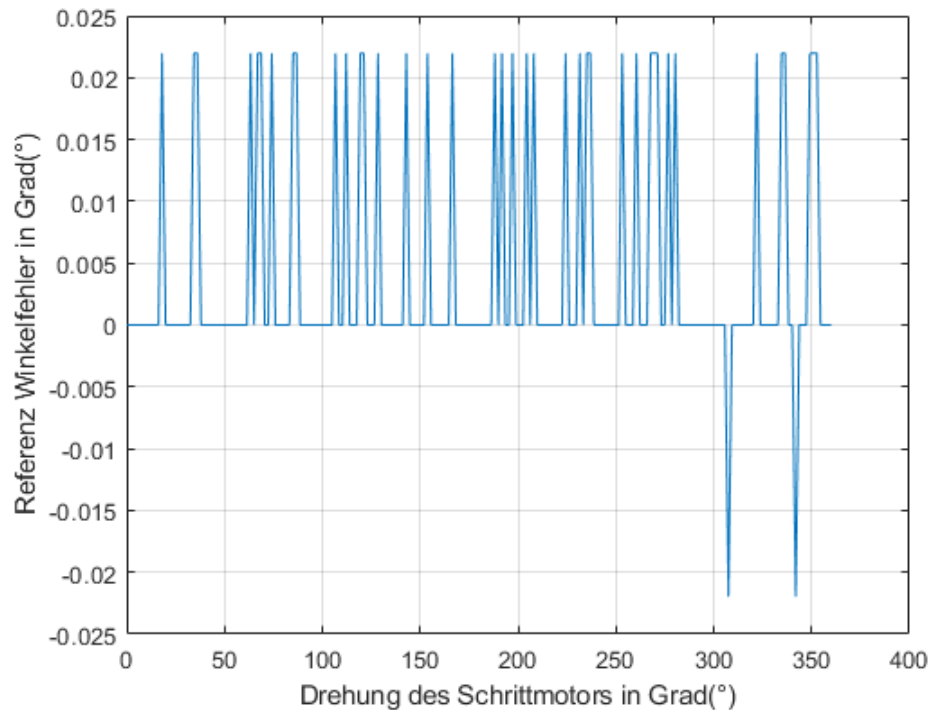


Abbildung 5.2: Winkelfehler des Winkelgeber der Firma CUI-Devices über 360 ° Drehung. Diese Werte werden als Referenzwinkel verwendet.

absolute Fehler schwankt stark zwischen Messungen. Es wurden Kurven des absoluten Fehlers mit Maximalwerten zwischen 0.4 und 2 gemessen. Er weist über eine Periode von 360° eine stark ausgeprägte Modulation mit der doppelten Frequenz auf. Des Weiteren sind auch hochfrequenzere Schwankungen mit niedrigeren Amplituden erkennbar.

Der absolute Fehler über eine gesamte Rotation ist gut reproduzierbar. Wird er erneut über eine zweite Rotation aufgenommen und immer an denselben Winkelstellungen betrachtet, weichen die Werte mit $\text{ca. } -0.1^\circ < \phi < 0.1^\circ$ von einander ab. Diese Betrachtung entspricht also in etwa einer statischen Betrachtung. Werden nun die beiden Fehler voneinander subtrahiert, kann der absolute Fehler kompensiert werden. Dies ist schon mit dieser einfachen Methode mit einem guten Resultat möglich. Der kompensierte Winkelfehler ist für die Multiplexerplatine beispielhaft links unten in Abbildung 5.3 gezeigt. Durch Mittelung der Messwerte kann die Präzision der Winkelmessung deutlich erhöht werden. In Abbildung 5.4 ist die maximale Differenz zwischen den absoluten Winkelfehlern bei der gleichen Stellung für 50 volle Rotationen des Schrittmotors gezeigt. Es

ist zu erkennen, dass der Winkelfehler negativ exponentiell abfällt und sich ab ca. 20 Mittelungen im Bereich 0.1 befindet.

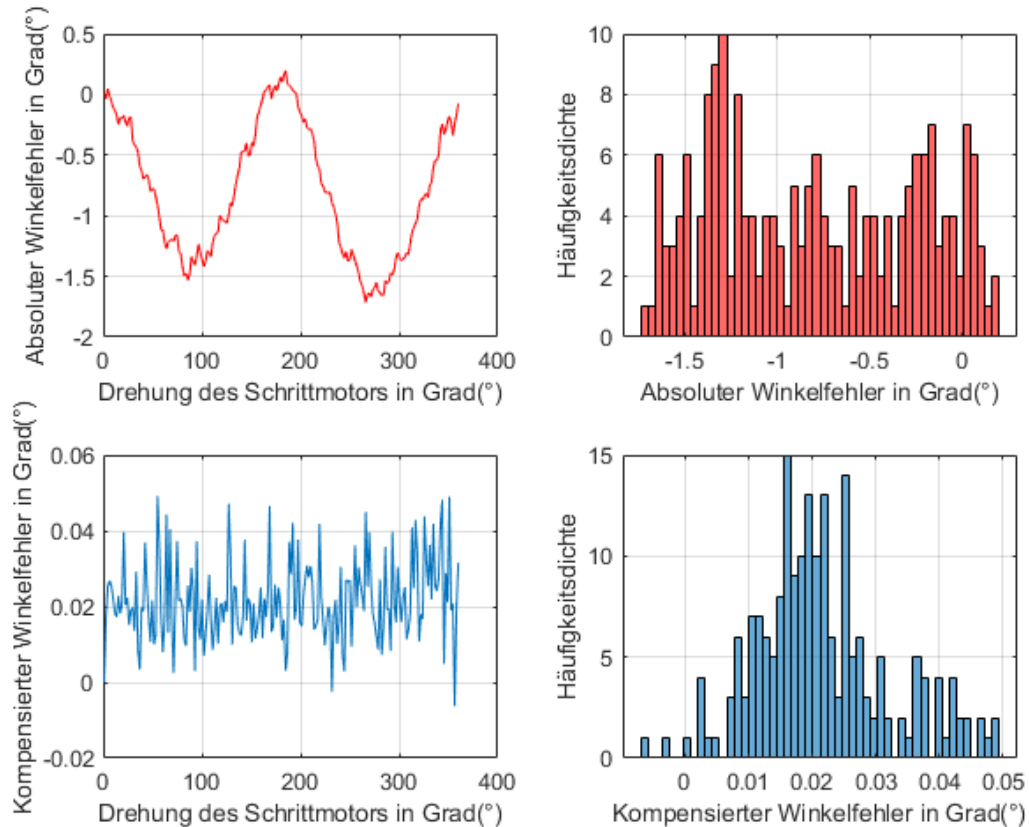


Abbildung 5.3: Multiplexerplatine. Winkelfehler über 360° Drehung. Ringmagnet in ca. -2 cm Entfernung zur Platine. Kompensierung durch Subtraktion des Fehlers zwischen 2 Messungen

5.2.2 Diodenplatine

Die Diodenplatine lässt sich im Grunde genommen auf dieselbe Weise wie die im letzten Abschnitt behandelte Multiplexerplatine auslesen und auswerten. Auch das Verhalten der Platine ist ähnlich wie das der Multiplexerplatine. Dies ist in Abbildung 5.5 gezeigt. Deutlich hebt sich allerdings ein auf den Winkelfehler moduliertes Signal ab. Dies ist in der Abbildung links oben zu erkennen. Über eine Periode von 360° ist ein Signal von der 16-fachen Frequenz mit in etwa einer Amplitude von $\pm 1^\circ$ zu erkennen. Es ist zu vermer-

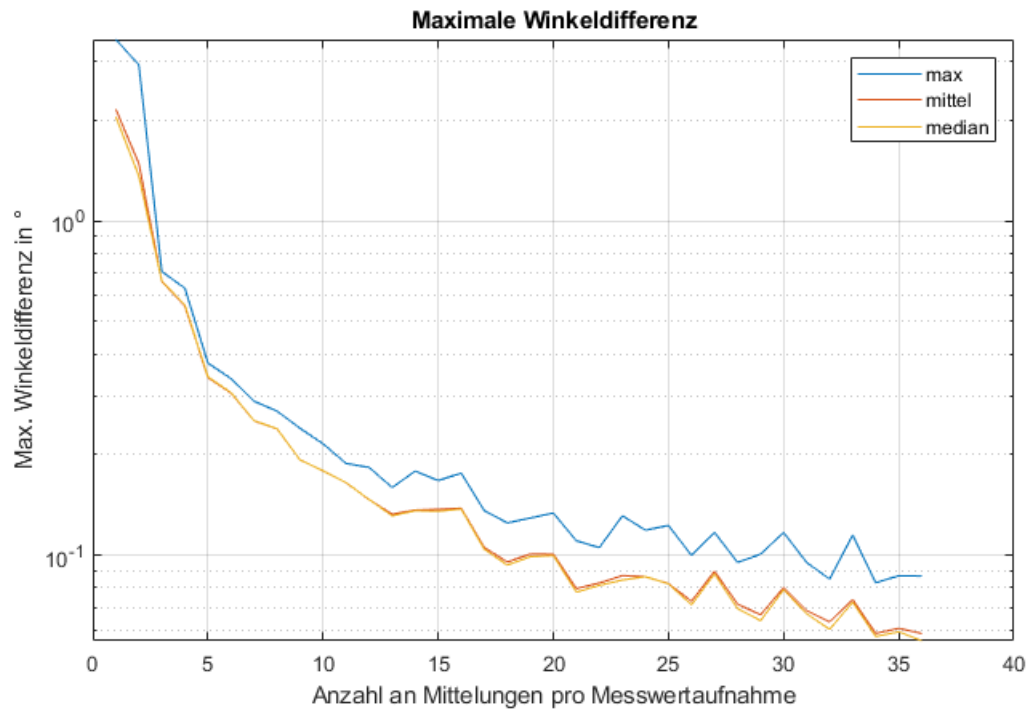


Abbildung 5.4: Maximale Differenz zwischen Winkelfehlern bei gleichen Drehwinkeln über 50 volle Rotationen. Multiplexerplatine und Stabmagent ohne Verschiebung auf der Z-Achse.

ken, dass die Frequenz dieser Modulation mit der Anzahl der Sensoren auf der Platine übereinstimmt.

Auch diese Modulation ist allerdings charakteristisch und lässt sich wie im letzten Abschnitt gut durch eine einfache Subtraktion der Fehler mehrerer Messwertaufnahmen kompensieren. Der hierbei berechnete kompensierte Fehler scheint jedoch etwas mehr zu streuen, als der kompensierte Fehler der Multiplexerplatine.

5.2.3 Betrachtung der Fehlerquellen

Die Funktionsweise der Platine wird in der Theorie unter idealen Umständen betrachtet. In der Realität gibt es jedoch bei der Erprobung im Labor und für die spätere Nutzung als Werkzeug in Werkstätten einige Ursachen, welche die Präzision der Winkelbestimmung beeinflussen.

Bei einer idealen Betrachtung der Platine wird angenommen, dass sich die Sensoren in ei-

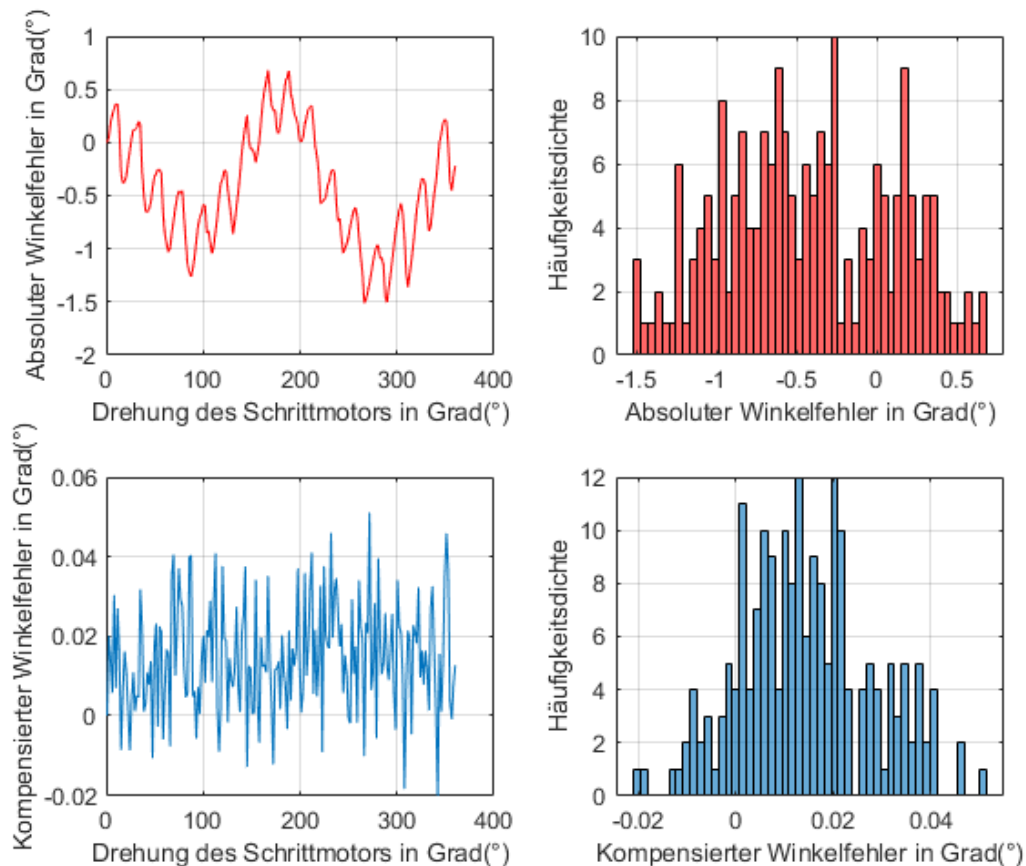


Abbildung 5.5: Diodenplatine. Winkelfehler über 360 ° Drehung. Ringmagnet in ca. -2 cm Entfernung zur Platine. Kompensierung durch Subtraktion des Fehlers zwischen 2 Messungen

nem Kreis mit exakt gleichem Radius und auf der exakt gleichen Höhe zum magnetischen Dipol befinden. Durch maschinelle Bestückung ist es möglich, eine hohe Präzision bei der Bestückung der Platine zu erreichen. Jedoch auch bei guter Ausrichtung der Sensoren auf der Platine sind Fehlerquellen häufig nicht zu vermeiden. So ist auch eine gewisse Toleranz bei der Platzierung der Chips im IC-Package der Sensoren zu erwarten. Auch führen Unebenheiten auf der Platine oder den Packages der Sensoren und Verformungen der Platine zu Verkippungen der Sensoren zu einander. Diese Fehlerquellen bei der Bestückung und Ausrichtung der Sensoren sind in Abbildung 5.6 gezeigt.

Einen Einfluss auf die Präzision der Winkelbestimmung hat auch eine Verschiebung des Magneten bzw. der Platine auf der Z-Achse. Die genaue Platzierung in dieser Ebene

dürfte sich in der Benutzung als Schraubwerkzeug vermutlich als sehr schwierig herausstellen. Um diesen Fehlerfall zu betrachten sind per 3D-Druck Magnetadapter in unterschiedlichen Höhen in Referenz zur Platine gedruckt worden. Anschließend wurde der Winkelfehler für 6 unterschiedliche Positionen des Magneten gemessen. Die Ergebnisse sind in Abbildung 5.7 gezeigt. Es ist zu erkennen, dass sowohl der absolute als auch der kompensierte Fehler abnehmen, je weiter der Magnet in das Zentrum der Platine verschoben wird. Bei der Messung des absoluten Winkels ist jedoch eine signifikante Steigerung des maximalen Fehlers bei einer Verschiebung von -5 mm zu erkennen. Dies liegt an der zufälligen Wahl des Referenzwinkels. Dieser wird an der Stelle gewählt an der der Winkelgeber den Referenzwinkel 0° ausgibt. Dies ist unabhängig von der Ausrichtung des Magneten, welcher bei allen Messungen unterschiedlich ausgerichtet war.

Der Kompensierte Fehler ist entgegen dem absoluten Fehler nicht von der Ausrichtung des Magneten Abhängig, da der charakteristische Fehler durch die Kompensation durch Subtraktion des Fehlers herausgerechnet ist. Nach der Kompensation ist ein Minimum des maximalen Fehlers bei -5 mm, also leicht unter der idealen Platzierung im Zentrum der Platine zu erkennen. Der kompensierte Fehler nimmt mit zunehmendem Abstand stetig zu.

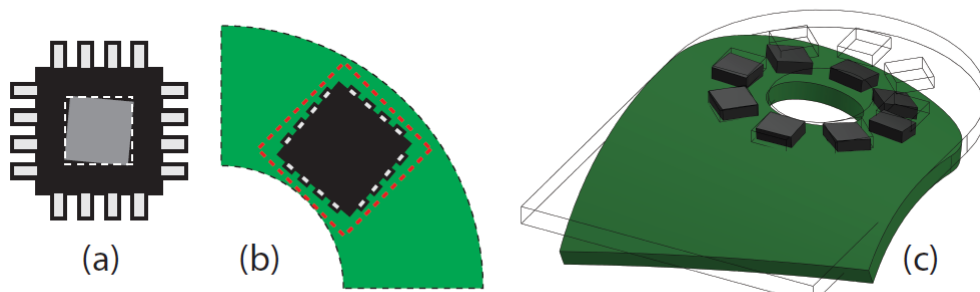


Abbildung 5.6: Verschiedene Fehlerquellen durch Fehlausrichtung der Sensoren: Ausrichtung der Brücken auf dem Chip (a), Ausrichtung auf der Platine (b), Verformung der Platine (c) [7]

5.3 Interpretation im Kontext der Anwendung als Schraubwerkzeug

Wird die Tabelle aus Abbildung 1.3 betrachtet und ein lineares Verhalten des Torsionswinkels einer Schraube zur auf das Werkstück wirkenden Vorspannkraft angenommen ergibt sich für eine 100 mm lange M8-Schraube ein Verhältnis von $0.224 \text{ }^\circ/\text{kN}$. Dieses Verhältnis nimmt für kürzer- und im Durchmesser größer-werdende Schrauben ab. Für eine 60 mm lange M16 Schraube beträgt es nur noch ca. $0.015 \text{ }^\circ/\text{kN}$. Eine Auflösung des Torsionswinkels in der Größenordnung 0.01° könnte demnach eine Voraussetzung für viele Anwendungen sein.

Eine realistische Schätzung des absoluten Drehwinkels eines Dipols ist mit dem in dieser Arbeit betrachteten Messaufbau in der Größenordnung 10° möglich. Bei unveränderten Bedingungen ist eine Kompensierung des Fehlers durch Subtraktion möglich und ermöglicht dadurch eine Schätzung der Größenordnung 1° .

Durch weitere Signalverarbeitung mit Kalibrierungsalgorithmen könnte es möglich sein, den Drehwinkel unter kontrollierten Bedingungen in der Größenordnung 0.1° verlässlich zu schätzen.

Ein nicht in dieser Arbeit behandelter Aspekt der Funktionsweise des Schraubwerkzeugs ist die Betrachtung der Resistenz gegenüber magnetischen Streufeldern. Obwohl die runde Bauweise und die Auswertung der Sensorwerte durch die Fouriertransformation theoretisch eine Unterdrückung der Einflüsse von Streufeldern auf die Winkelbestimmung haben, ist diese in dieser Arbeit nicht betrachtet und ihre Effektivität dadurch nicht beobachtet worden.

des Weiteren wurde auch keine Auftrennung mehrerer Felder erprobt. Somit kann keine Aussage darüber getroffen werden, ob es möglich ist, die Winkelinformation eines von einem äußeren Halbacharray ausgehenden homogenen Feld vom den Informationen des Feldes des in der Mitte liegenden Dipols zu trennen. Auch über die Winkelgenauigkeit eines äußeren homogenen Feldes kann keine Aussage getroffen werden. Winkelfehler durch die Überlagerung der Felder können nicht ausgeschlossen werden, welche die Genauigkeit beider Winkelmessung beeinträchtigen können.

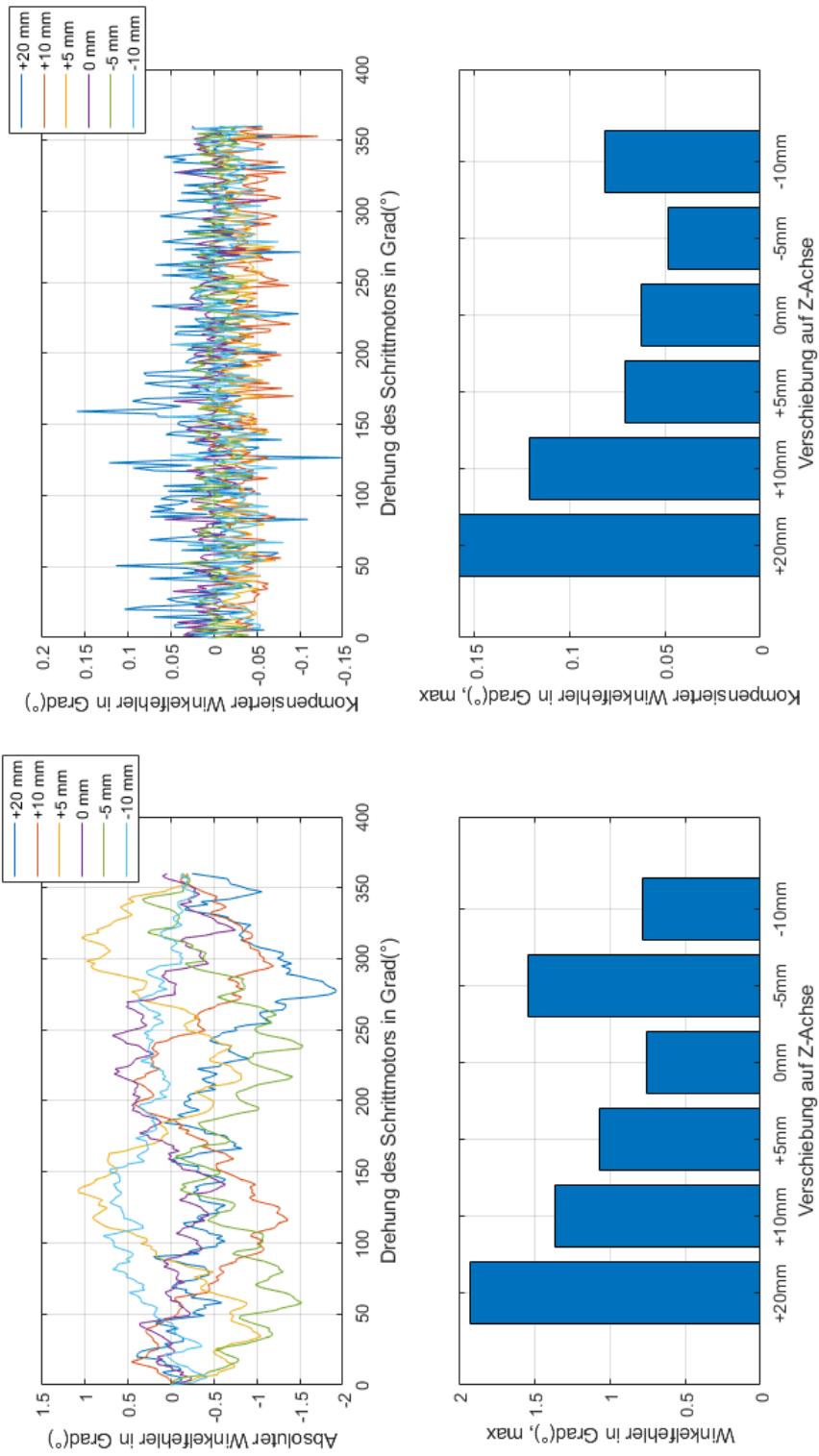


Abbildung 5.7: Winkelfehler bei Verschiebung des Magneten in der Z Ebene mittels Stabmagnet

6 Fazit

6.1 Zusammenfassung

Zusammenfassend kann aus dieser Arbeit Folgendes geschlossen werden. Die Drehwinkelmessung eines magnetischen Dipols mittels eines runden TMR-Sensorarrays auf einer Sensorplatine ist möglich und kann mit weiterem Forschungsaufwand aussichtsreiche Präzisionen erreichen. Im Rahmen dieser Arbeit wurde mit einem runden Array, bestehend aus 16 TMR-Sensoren mit einem Radius von 17.5 mm um einen Magneten, ein absoluter Winkelfehler von $<2^\circ$ in Referenz zu einem 14-Bit Winkelgeber des Typs AMT212B erreicht. Dieser absolute Fehler variiert jedoch stark. Er wurden zwischen verschiedenen Messungen Änderungen des maximalen absoluten Fehlers von bis zu 500 % gemessen. Mittels einfacher Kompensation des charakteristischen absoluten Fehlers war es möglich, den Winkelfehler auf $<0.1^\circ$ zu reduzieren. Es wurde eine charakteristischer Fehlerverlauf mit einer Modulation mit der Frequenz $f = 2$ in Referenz zur Periode 360° beobachtet. Bei der Diodenplatine konnte zusätzlich hierzu noch eine Modulation des charakteristischen Fehlers mit der Frequenz $f = 16$ in Referenz zur Periode 360° beobachtet werden.

6.2 Ausblick

Im Rahmen dieser Arbeit konnten einige Aspekte nicht behandelt werden. Es ist deshalb nötig, in weiteren Versuchen Erkenntnisse über diese zu erlangen. Ein wichtiger Teil ist die Erforschung der Fehlerquellen und ihrer Auswirkung. Viele dieser Quellen haben komplexe Abhängigkeiten voneinander oder weisen kein lineares Verhalten auf, was es schwieriger macht, sie in Simulationen zu erfassen.

Über weitere Experimente können etwa genauere Informationen über kontrollierte Verkippen des Magneten oder der Platine gesammelt werden. Auch eine Verschiebung

des Magneten oder der Platine in der X/Y-Ebene könnte aufschlussreiche Daten zur Fehlerermittlung beitragen.

Die Störfeldunterdrückung ist eine Vermutung, welche noch experimentell zu beweisen ist. Ebenso ist die Vermutung über die Trennbarkeit sich überlagernder homogener Felder und Felder magnetischer Dipole zu beweisen.

Für all diese Betrachtungen bietet sich die Konstruktion bzw. Nutzung eines Platinenmessplatzes an mit welchem Verkippung, lineare Verschiebung und Rotation möglich ist. Für die Überprüfung der Trennbarkeit der Felder empfiehlt sich ein Test mit magnetischen Halbacharrays. Mit diesen können homogene Störfelder simuliert werden und des Weiteren können sie auch als Referenzwinkelquelle genutzt werden.

Literaturverzeichnis

- [1] ALBOUNYAN, Ahmed: *Charakterisierung magnetischer Winkelsensoren mittels Kreuzspulenmessplatz*. HAW-Hamburg, 2018
- [2] CROCUS TECHNOLOGIES: *CT310 XtremeSense® 2D TMR Angular Sensor Datasheet*. 2021
- [3] CROCUS TECHNOLOGIES: *Sensor Illustration*. 2023. – URL <https://crocus-technology.com/products/ct310/>
- [4] MEHM, Thorbjörn: *Schaltungsentwurf und Mikrocontrollersteuerung für ein Tunnel-Magneto-resistives Sensor-Array*. HAW-Hamburg, 2019
- [5] NEUBAUER, André: *DFT - Diskrete Fourier-Transformation*. Springer Vieweg, 2012
- [6] REIS, Mario: *Fundamentals of Magnetism*. Elsevir Inc., 2013
- [7] RIPKA, Pavel ; FISCHER, Jan ; GRIM, Václav: *Characterization of circular array current transducers*. IEEE, 2019
- [8] SCHÜTTE, Thorben ; RIEMSCHEIDER, Karl-Ragmar ; MEYER-ESCHENBACH, Andreas: *Magnetic Sensor Array for Determining the Assembly Torsion and Preload of a Bolted Joint*. HAW-Hamburg, 2022
- [9] SCHÜTTE, Thorben ; RIEMSCHEIDER, Karl-Ragmar ; MEYER-ESCHENBACH, Andreas ; WEITHOFF, Finn ; RICHTER, Sarah ; BRODERSEN, Jannik: *Patent - Werkzeug für die Schraubmontage mit Magnetsensor-Array zur Torsionsmessung*. -, 2020
- [10] TEXAS INSTRUMENTS: *CD74HCT4067 High-Speed CMOS Logic 16-Channel Analog Multiplexer/Demultiplexer Datasheet*. 2003
- [11] TEXAS INSTRUMENTS: *CD74HCT4066-Q1 High-Speed CMOS Logic Quad Bilateral Switch Datasheet*. 2008

- [12] TEXAS INSTRUMENTS: *EK-TM4C1294XL Tiva™ C Series TM4C1294 Connected LaunchPad Evaluation Kit - User's Guide*. 2016
- [13] TUMAŃSKI, Sławomir: *Handbook of Magnetic Measurements*. CRC Press, 2011

A Anhang

A.1 Platinenlayout

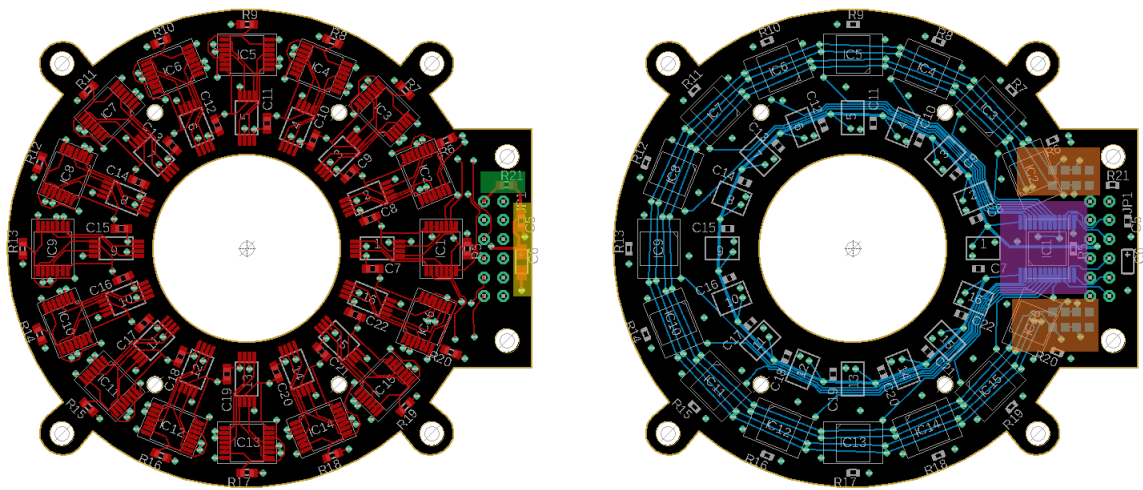


Abbildung A.1: Aufbau der Multiplexerplatine. Links(rot): Leiterbahnen Oberseite; Rechts(rot), Leiterbahnen Unterseite(blau) . Gelb: Glättungs- und Filterkondensatoren für Betriebsspannung, Grün: Widerstand zur Strombegrenzung, Lila: Zentraler Multiplexer, Orange: RC-Filterschaltung für Sensorbusse

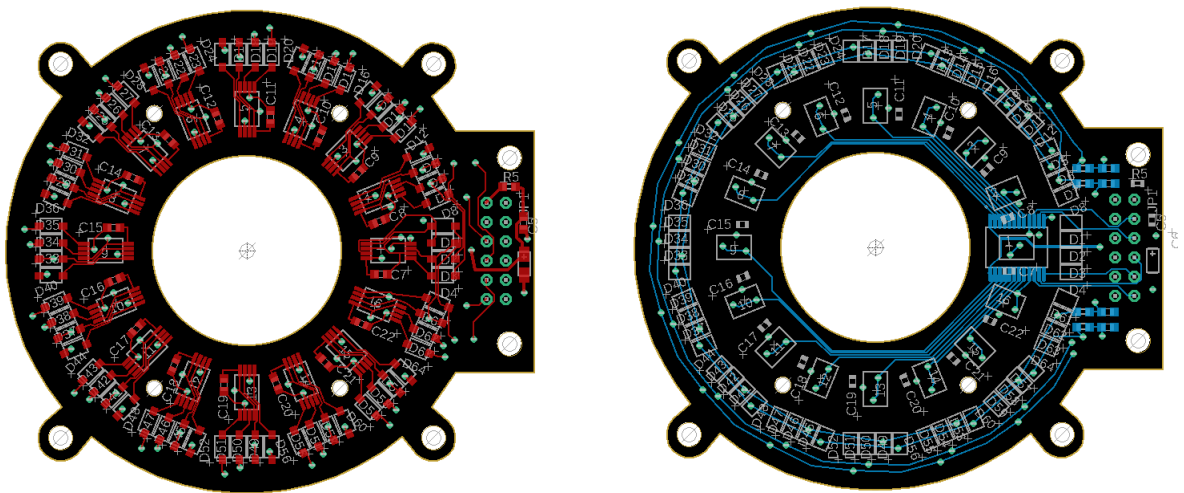


Abbildung A.2: Aufbau der Diodenplatine. Links(rot): Leiterbahnen Oberseite, Rechts(blau): Leiterbahnen Unterseite. Glättungs und Filterkondensatoren, Widerstände zur Strombegrenzung, Multiplexer und RC-Filterschaltungen wie in Abbildung A.1

A.2 Eagle Schematics

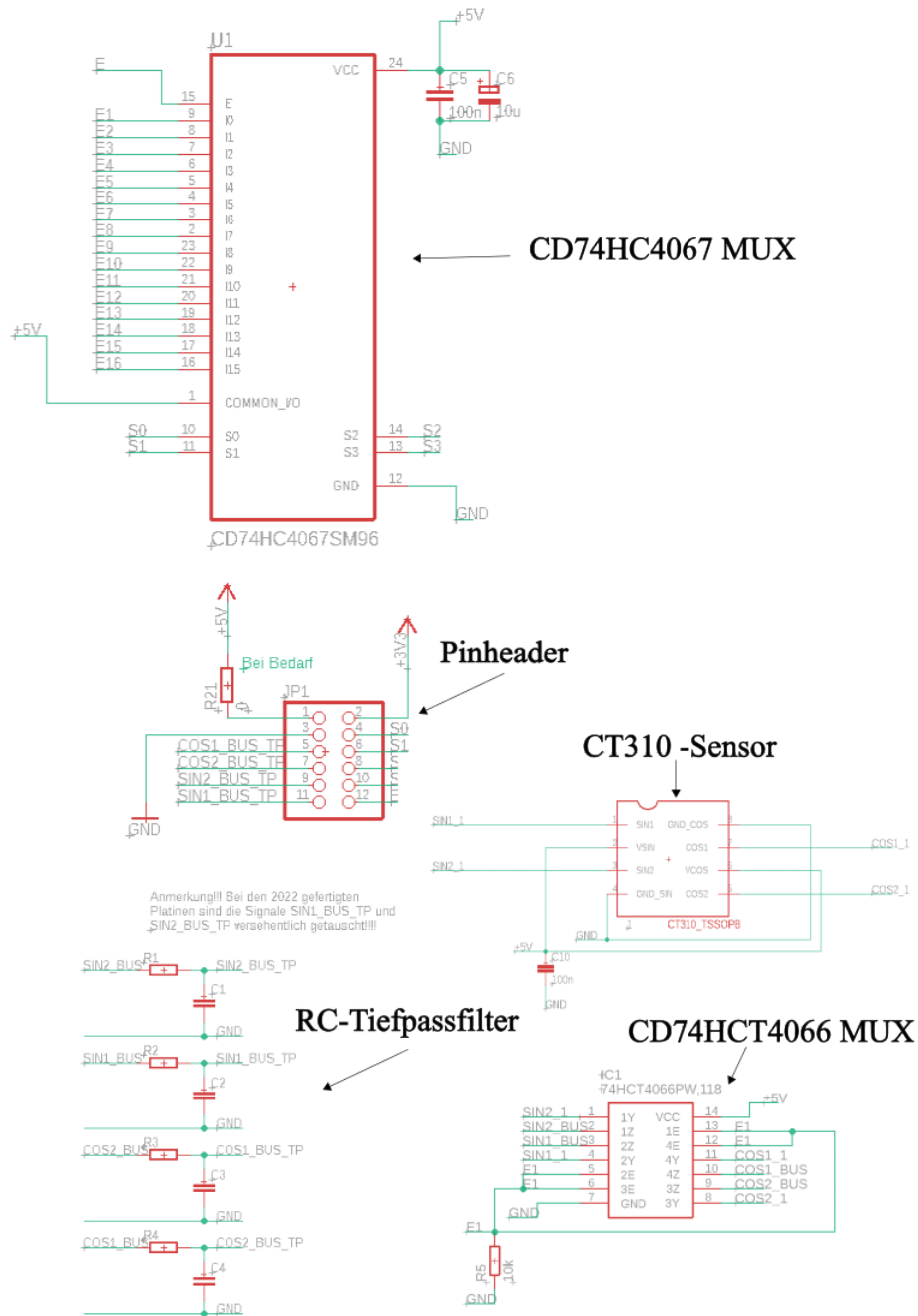


Abbildung A.3: Schaltung der Multiplexerplatine in Eagle für einen Sensor

Sensorexplante für rundes TMR-Sensorenarray (16 Sensoren)
 Multiplexervariante
 Jakob Haeger, 13.06.2023

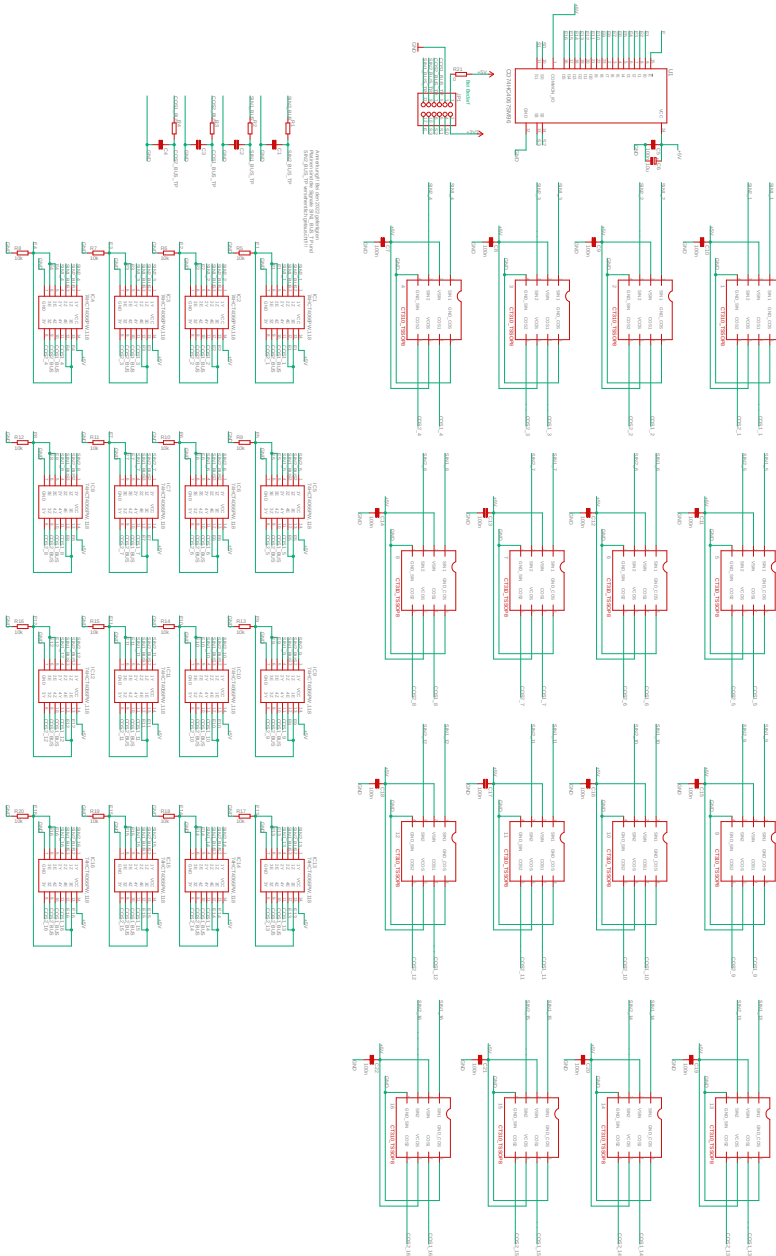


Abbildung A.4: Komplette Schaltung der Multiplexerplatine in Eagle

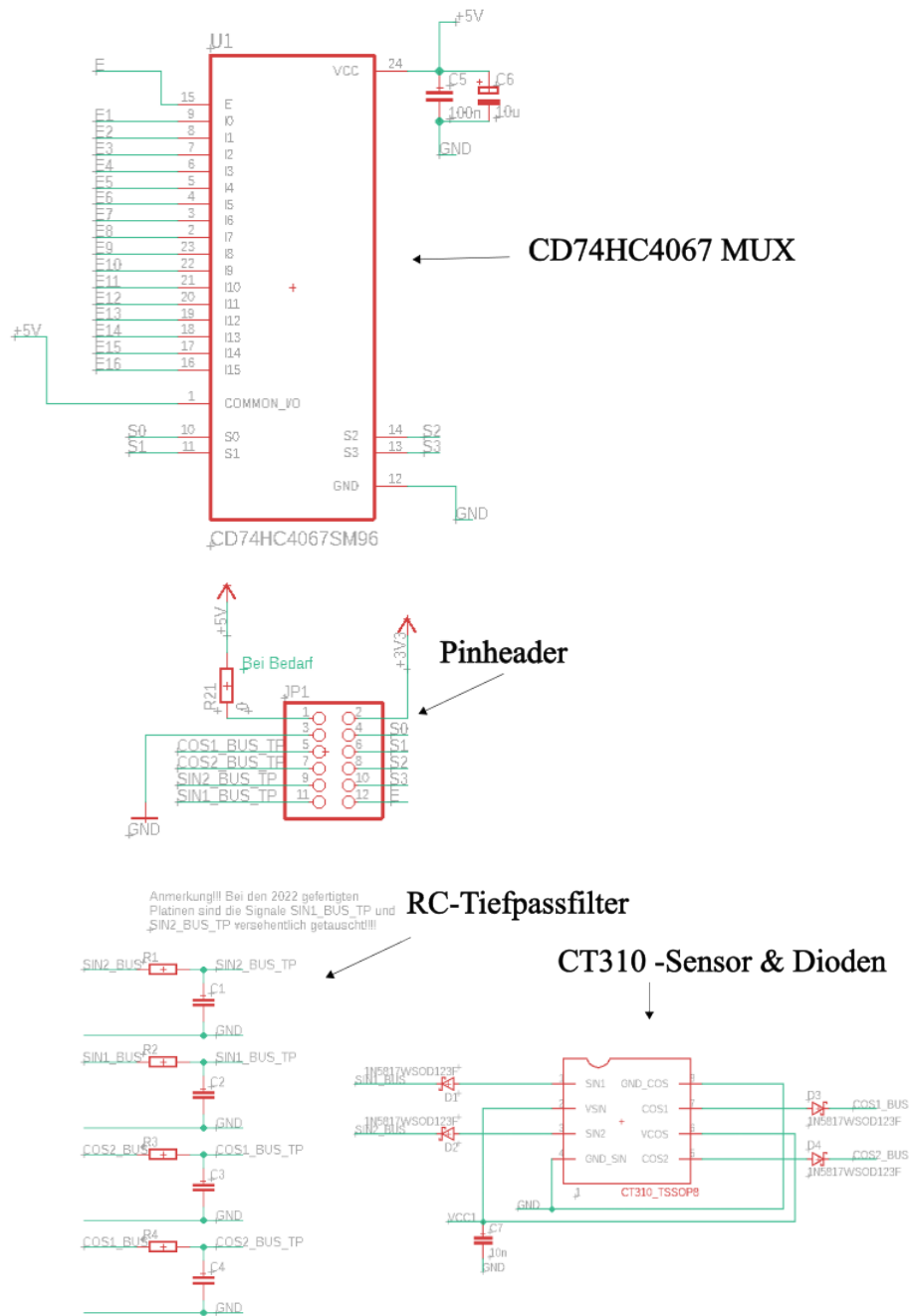


Abbildung A.5: Schaltung der Diodenplatine in Eagle für einen Sensor

Sensorplatine für rundes TMR-Sensorenarray (16 Sensoren)
 Diodenvariante
 Jakob Haege, 13.06.2023

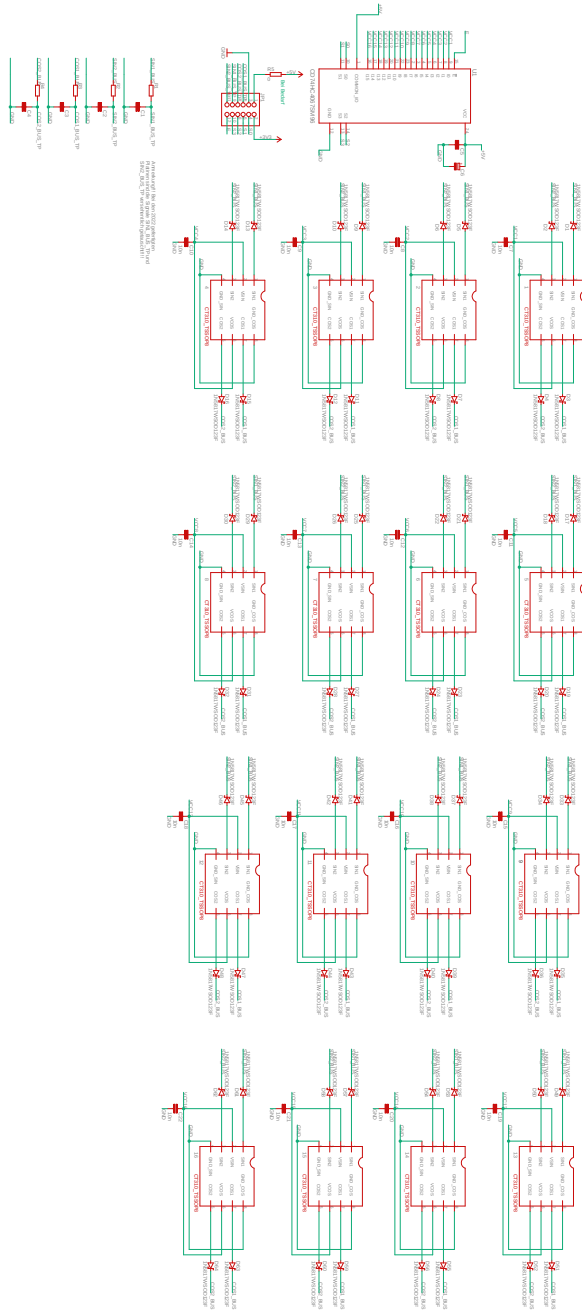


Abbildung A.6: Komplette Schaltung der Diodenplatine in Eagle

A.3 Quellcodes

A.3.1 Mikrocontroller

```
1 //
   *****
2 //
3 //  main.c – Treiber fuer den Versuchsaufbau der Bachelorarbeit von Jakob
   Haege, 09.06.2023
4 //
5 //  Mit diesem Programm ist es moeglich die Multiplexer und Diodenplatine
   auszulesen
6 //  und die formatierten Daten an einen Laborrechner zu uebertragen. Die
   Platinen wurden
7 //  im Rahmen der Bachelorarbeit entwickelt.
8 //
9 //  Dieses Programm wird zusammen mit dem Matlab-File "Sensor_reader.m"
   genutzt.
10 //  Nach flashen des Programms auf das Evaluationsboard EK-TM4C1294XL
   koennen die
11 //  Werte der Sensoren ueber ein "Sensor_reader"-Objekt roh ausgelesen
   werden oder
12 //  ueber die entsprechenden Methoden interpretiert werden.
13 //
14 //  Daten werden als ASCII-String ausgegeben. Die Formattierung der
   ausgegebenen Daten ist folgende:
15 //
16 //  "cui_winkel,sensor1_sin,sensor1_cos,sensor2_sin,sensor2_cos,...
   sensor16_sin,sensor16_cos\n"
17 //
18 //  Sensor-Werte sind hierbei mit %04d formattiert. Cui-Winkel mit %05d.
19 //
20 //
   *****
21
22 #include "stdint.h"
23 #include "stdio.h"
24 #include "stdlib.h"
25 #include "stdbool.h"
26 #include "time.h"
27 #include "string.h"
```



```
28 #include "driverlib/sysctl.c"
29 #include "driverlib/watchdog.c"
30 #include "driverlib/gpio.c"
31 #include "driverlib/uart.c"
32 #include "driverlib/adc.c"
33 #include "driverlib/pin_map.h"
34
35 // Funktionen zur Initialisierung
36 int init_uC(void);
37 int setup_adc(void);
38 int setup_uart(void);
39 int setup_switch_gpio(void);
40 //int setup_stepper(void);
41
42 // Funktionen fuer Mux-Steuerung und Kommunikation
43 int enable_mux(void);
44 int disable_mux(void);
45 int get_ADC0(void);
46 int get_ADC1(void);
47 int uart_print_string(char* string);
48 int switch_select(uint8_t select);
49 int delay(int micros);
50 int cui_rx(char* cui_msg);
51 int trigger_ADC_conversions_and_read_adcs(void);
52
53 // Funktionen fuer Schrittmotor
54 //int stepper_rx(char* msg);
55 //int motor_step(int steps, int rot);
56
57 //Hilfsvariablen und Flags
58 int var = 0;
59 int rx = 0;
60 int z = 7;
61 bool position_reached = 0;
62
63 //Systemvariablen
64 int sysfreq;
65
66 // serielle Puffer
67 char ausgabe[30] = "";
68 char msg[9] = "";
69 char cui_msg[2] = "";
70
71 // Variablen fuer Werte
```

```

72 uint16_t cui_msg_tot = 0;
73 uint16_t cui_angle = 0;
74 uint8_t cui_chksum = 0;
75 uint8_t select = 0;
76 uint32_t adc_value = 0;
77 uint32_t adc_value1 = 0;
78
79 int main(void)
80 {
81     // Ausfuehren der Init-Funktionen zu Beginn des Programmablaufs
82     init_uC();
83     setup_adc();
84     setup_uart();
85     //setup_stepper();
86     setup_switch_gpio();
87
88     // Einschalten des zentralen Multiplexers
89     enable_mux();
90
91     //----- !!!!!!!!!!!!! Hauptschleife !!!!!!!!!!!!!
92     while (true){
93         // Schleife der Hauptroutine
94         rx = UARTCharGet(UART0_BASE); // Empfangenes Byte vom Laborrechner
          startet Routine (Blocking)
95
96         UARTCharPut(UART3_BASE, 0x54); // Modul-Adresse des CUI-
          Winkelgebers als TX. Startet Umsetzung in Winkelgeber -> RX 16 Bit
          absoluter Winkel und Checksumme
97         cui_rx(cui_msg); // Empfange Winkel und speichere ihn in globale
          variable "cui_angle"
98
99         // Ausgabe des CUI Wertes an Laborrechner als 1 Wert. Komma
          getrennt.
100        sprintf(ausgabe, "%05d,", cui_angle);
101        uart_print_string(ausgabe);
102
103        for(select = 0; select < 16; select++) {
104            // Auswahl des auszulesenden Sensors
105            switch_select(select);
106            delay(200); // Delay in Mikrosekunden zwischen Sensor-Select
          und ADC-Trigger
107
108            trigger_ADC_conversions_and_read_adcs(); // ADC Umsetzung
109

```

```
110         if(select != 15){
111             // Bei Sensor < 16 -> Ausgabe der ADC-Werte mit Komma am
Schluss
112             sprintf(ausgabe, "%04d,%04d,", adc_value, adc_value1);
113             uart_print_string(ausgabe);
114         }else{
115             // Bei letztem Sensor (Sensor 16) -> Ausgabe der ADC-Werte ohne
Komma am Schluss
116             sprintf(ausgabe, "%04d,%04d", adc_value, adc_value1);
117             uart_print_string(ausgabe);
118         }
119     }
120     // Line Feed Character als Abschluss der uebertragung
121     uart_print_string("\n");
122
123     //////////////////////////////////////
124     // Es wurden nun alle 16 Sensoren der Platine ausgelesen.
125     // folgendes, mit den der Bezeichnung entsprechenden Werte, wurde
an den Laborrechner ausgegeben:
126     //
127     // "cui_winkel,sensor1_sin,sensor1_cos,sensor2_sin,sensor2_cos,...
sensor16_sin,sensor16_cos\n"
128     //////////////////////////////////////
129
130     // Bevor die Routine erneut gestartet wird, wird der Watchdog auf
60 Sekunden zurueckgesetzt
131     WatchdogReloadSet(WATCHDOG0_BASE,(uint32_t) 60 * 4000000);
132
133     // Delay als Puffer zwischen Auslesungen
134     delay(500); // delay in micros
135 }
136
137 return 0;
138 }
139
140
141
142
143 // ***** Funktionen
144
145 int init_uC(void)
146 {
147     // Clock Setup
```

```

148     sysfreq = SysCtlClockFreqSet( SYSCTL_USE_PLL | SYSCTL_OSC_INT |
SYSCTL_CFG_VCO_320, 40000000); // 40 MHz Clock Setup
149
150
151     // Port A fuer UART -> genaueres in den jeweiligen Init-Funktionen
152     SysCtlPeripheralEnable(SYSCTL_PERIPH_GPIOA);
153     while (!SysCtlPeripheralReady(SYSCTL_PERIPH_GPIOA))
154     {
155         ;
156     }
157     // Port C fuer GPIO -> genaueres in den jeweiligen Init-Funktionen
158     SysCtlPeripheralEnable(SYSCTL_PERIPH_GPIOC);
159     while (!SysCtlPeripheralReady(SYSCTL_PERIPH_GPIOC))
160     {
161         ;
162     }
163     // Port E fuer GPIO und ADC Funktionalitaet -> genaueres in den
jeweiligen Init-Funktionen
164     SysCtlPeripheralEnable(SYSCTL_PERIPH_GPIOE);
165     while (!SysCtlPeripheralReady(SYSCTL_PERIPH_GPIOE))
166     {
167         ;
168     }
169     // For Testing
170     SysCtlPeripheralEnable(SYSCTL_PERIPH_GPIOB);
171     while (!SysCtlPeripheralReady(SYSCTL_PERIPH_GPIOB))
172     {
173         ;
174     }
175     GPIOPinTypeGPIOOutput(GPIO_PORTB_BASE, GPIO_PIN_4);
176
177
178     //

```

```

179     // Enable Watchdog Timer
180     SysCtlPeripheralEnable(SYSCTL_PERIPH_WDOG0);
181     while (!SysCtlPeripheralReady(SYSCTL_PERIPH_WDOG0))
182     {
183         ;
184     }
185     // Erstes setzen des Watchdog mit Timer Countdown von 10 sec ( 400 000
000 Clockcycles)
186     // Wird anschliessend am Ende jeder Routine zum Auslesen zurueckgesetzt

```

```

187     WatchdogResetEnable(WATCHDOG0_BASE);
188     WatchdogReloadSet(WATCHDOG0_BASE, 400000000);
189     WatchdogEnable(WATCHDOG0_BASE);
190
191     return 0;
192 }
193
194 int setup_switch_gpio(void) {
195     // Initialisierung der GPIOs. Port C Pin 4,5,6 und Port E Pin 4 fuer
196     // Selectsignal. Port E Pin 5 fuer Enablesignal
197     GPIOPinTypeGPIOOutput(GPIO_PORTC_BASE, GPIO_PIN_4 | GPIO_PIN_5 |
198     GPIO_PIN_6);
199     GPIOPinTypeGPIOOutput(GPIO_PORTE_BASE, GPIO_PIN_4);
200     GPIOPinTypeGPIOOutput(GPIO_PORTE_BASE, GPIO_PIN_5);
201     // Test GPIO
202     GPIOPinTypeGPIOOutput(GPIO_PORTC_BASE, GPIO_PIN_7);
203     return 0;
204 }
205
206 int setup_adc(void) {
207     // Funktion zur Initialisierung der ADC-Module
208     GPIOPinTypeADC(GPIO_PORTE_BASE, GPIO_PIN_3 | GPIO_PIN_2);
209     GPIOPinTypeADC(GPIO_PORTE_BASE, GPIO_PIN_0 | GPIO_PIN_1);
210     // ..
211     SysCtlPeripheralEnable(SYSCTL_PERIPH_ADC0);
212     // ..
213     while (!SysCtlPeripheralReady(SYSCTL_PERIPH_ADC0))
214     {
215     }
216     SysCtlPeripheralEnable(SYSCTL_PERIPH_ADC1);
217     while (!SysCtlPeripheralReady(SYSCTL_PERIPH_ADC1))
218     {
219     }
220     // ADCs werden differentiell Konfiguriert mit 64x Oversampling (
221     // Oversampling erhoehte in Tests die Genauigkeit deutlich messbar)
222     ADCSequenceConfigure(ADC0_BASE, 0, ADC_TRIGGER_PROCESSOR, 0);
223     ADCSequenceStepConfigure(ADC0_BASE, 0, 0, ADC_CTL_D | ADC_CTL_END |
224     ADC_CTL_IE | ADC_CTL_CH0);
225     ADCSequenceEnable(ADC0_BASE, 0);
226     ADCHardwareOversampleConfigure(ADC0_BASE, 64);
227
228     ADCSequenceConfigure(ADC1_BASE, 0, ADC_TRIGGER_PROCESSOR, 0);
229     ADCSequenceStepConfigure(ADC1_BASE, 0, 0, ADC_CTL_D | ADC_CTL_END |
230     ADC_CTL_IE | ADC_CTL_CH1);

```

```
226     ADCSequenceEnable(ADC1_BASE, 0);
227     ADCHardwareOversampleConfigure(ADC1_BASE, 64);
228     return 0;
229 }
230
231 int setup_uart(void)
232 {
233     // Funktion zur Initialisierung der UART-Module zur Kommunikation mit
234     // Laborrechner und CUI-Winkelgeber
235
236     // Reset der Uart-Module
237     SysCtlPeripheralReset(SYSCTL_PERIPH_UART0);
238     SysCtlPeripheralReset(SYSCTL_PERIPH_UART3);
239     // Initialisierung des UART-Modul UART0 zur Kommunikation mit
240     // Laborrechner
241     SysCtlPeripheralEnable(SYSCTL_PERIPH_UART0);
242     while (!SysCtlPeripheralReady(SYSCTL_PERIPH_UART0))
243     {
244         ;
245     }
246     // Initialisierung des UART-Modul UART3 zur Kommunikation mit CUI-
247     // Winkelgeber
248     SysCtlPeripheralEnable(SYSCTL_PERIPH_UART3);
249     while (!SysCtlPeripheralReady(SYSCTL_PERIPH_UART3))
250     {
251         ;
252     }
253     // ...
254     GPIOPinTypeUART(GPIO_PORTA_BASE, GPIO_PIN_0 | GPIO_PIN_1);
255     GPIOPinConfigure(GPIO_PA0_U0RX);
256     GPIOPinConfigure(GPIO_PA1_U0TX);
257     // ...
258     GPIOPinTypeUART(GPIO_PORTA_BASE, GPIO_PIN_4 | GPIO_PIN_5);
259     GPIOPinConfigure(GPIO_PA4_U3RX);
260     GPIOPinConfigure(GPIO_PA5_U3TX);
261
262     // UART-Setup UART0 (Laborrechner), BAUD-Rate 1 MHz, 8-Bit kein Parity,
263     // 1 StopBit
264     UARTConfigSetExpClk(UART0_BASE, sysfreq, 1000000, (UART_CONFIG_PAR_NONE
265     | UART_CONFIG_WLEN_8 | UART_CONFIG_STOP_ONE));
266
267     // UART-Setup UART0 (Laborrechner), BAUD-Rate 2 MHz, 8-Bit kein Parity,
268     // 1 StopBit
```

```

263     UARTConfigSetExpClk(UART3_BASE, sysfreq, 2000000, (UART_CONFIG_PAR_NONE
        | UART_CONFIG_WLEN_8 | UART_CONFIG_STOP_ONE));
264
265     UARTEnable(UART0_BASE);
266     UARTEnable(UART3_BASE);
267     return 0;
268 }
269
270 int uart_print_string(char* string) {
271     // TX-Funktion zur Kommunikation mit dem Laborrechner
272     for (var = 0; var < strlen(string); ++var) {
273         while(UARTBusy(UART0_BASE));
274         UARTCharPut(UART0_BASE, string[var]);
275     }
276     // UARTCharPut(UART0_BASE, '\0');
277     return 0;
278 }
279
280 int trigger_ADC_conversions_and_read_adcs(void) {
281     // Diese Funktion triggert gleichzeitig die ADC-Sequenzen fuer beide
        // differentiellen ADCs ADC0 und ADC1
282     // und liest diese anschliessend nacheinander in zwei globale Variablen
        // aus
283     ADCProcessorTrigger(ADC0_BASE, 0 | ADC_TRIGGER_WAIT);
284     ADCProcessorTrigger(ADC1_BASE, 0 | ADC_TRIGGER_SIGNAL);
285     while(!ADCIntStatus(ADC0_BASE, 0, false))
286     {
287         ;
288     }
289     while(!ADCIntStatus(ADC1_BASE, 0, false))
290     {
291         ;
292     }
293     ADCSequenceDataGet(ADC0_BASE, 0, &adc_value);
294     ADCSequenceDataGet(ADC1_BASE, 0, &adc_value1);
295     return 0;
296 }
297
298 int get_ADC0(void) {
299     // Funktion zum einzelnen Auslesen des differentiellen ADC0 (Sinus-
        // Signal)
300     ADCProcessorTrigger(ADC0_BASE, 0);
301     while(!ADCIntStatus(ADC0_BASE, 0, false))
302     {

```

```

303     ;
304 }
305 ADCSequenceDataGet(ADC0_BASE, 0, &adc_value);
306 return 0;
307 }
308
309 int get_ADC1(void) {
310     // Funktion zum einzelnen Auslesen des differentiellen ADC0 (Cosinus-
311     // Signal)
312     ADCProcessorTrigger(ADC1_BASE, 0);
313     while (!ADCIntStatus(ADC1_BASE, 0, false))
314     {
315     }
316     ADCSequenceDataGet(ADC1_BASE, 0, &adc_value1);
317     return 0;
318 }
319
320 int switch_select(uint8_t select) {
321     // Funktion setzt Selectleitungen des zentralen Mux (Auswahl des
322     // auszulesenden Sensors mit dieser Funktion moeglich)
323     GPIOPinWrite(GPIO_PORTE_BASE, GPIO_PIN_4, select <<4);
324     GPIOPinWrite(GPIO_PORTC_BASE, GPIO_PIN_4 | GPIO_PIN_5 | GPIO_PIN_6 ,
325     select <<3);
326     return 0;
327 }
328
329 int enable_mux(void){
330     // Funktion schaltet zentralen Mux an
331     GPIOPinWrite(GPIO_PORTE_BASE, GPIO_PIN_5, 0x0);
332     return 0;
333 }
334
335 int disable_mux(void){
336     // Funktion schaltet zentralen Mux aus ( Auslesen der Platine nicht
337     // mehr moeglich )
338     GPIOPinWrite(GPIO_PORTE_BASE, GPIO_PIN_5, 0x05);
339     return 0;
340 }
341
342 int cui_rx(char* cui_msg) {
343     // Diese Funktion empfaengt die Antwort des CUI-Winkelgebers auf die
344     // Aufforderung einen absoluten Winkel auszugeben (TX = Moduladresse)

```



```

341 // 16 Bit Wert wird empfangen -> unterste 14 Bit sind der absolute
Winkel & obere 2 Bit sind eine Checksumme
342 for(var = 0; var < 2; var++){
343 cui_msg[var] = UARTCharGet(UART3_BASE); // 16 Bit empfangen
344 }
345 cui_msg_tot = (uint16_t)cui_msg[0] | ((uint16_t)cui_msg[1] << 8); //
Empfangene 2 Byte zusammenfuegen
346 cui_angle = cui_msg_tot & 0b0011111111111111; // Winkel durch Maske
einlesen
347 cui_chksum = (cui_msg_tot & 0b1100000000000000)>>14; // Checksumme
durch Maske einlesen und an die Stelle LSB schieben
348
349 return 0;
350 }
351
352
353 int delay(int micros) {
354 // Funktion zur Verzoeigerung des Programmablaufs in Mikrosekunden
355 SysCtlDelay((sysfreq/1000000)*(micros/3)); // Fuehrt fuer die
uebergebene Anzahl (int) jeweils 3 Dummy-Rechenschritte aus
356 return 0;
357 }
358
359 ////////////////////////////////////////////////////////////////////
360 // Theoretisch Steuerung des TRINAMIC-Schrittmotortreibers (TMCM-140-42-SE)
ueber UART -> RS485 moeglich
361
362
363 /*
364 int setup_stepper(void){
365 // current limiting max
366 UARTCharPut(UART3_BASE, 1); // module adress
367 UARTCharPut(UART3_BASE, 5); // command (setup axis)
368 UARTCharPut(UART3_BASE, 6); // type number (absolute maximum current
)
369 UARTCharPut(UART3_BASE, 0); // motor or bank number
370 UARTCharPut(UART3_BASE, 0); // value byte 1 ( MSB first )
371 UARTCharPut(UART3_BASE, 0); // value byte 2
372 UARTCharPut(UART3_BASE, 0); // value byte 3
373 UARTCharPut(UART3_BASE, 35); // value byte 4 (35 ~ 380 mA)
374 UARTCharPut(UART3_BASE, 47); // checksum
375 //
376 stepper_rx(msg);
377 // power down delay

```

```
378     UARTCharPut(UART3_BASE, 1); // module address
379     UARTCharPut(UART3_BASE, 5); // command (setup axis)
380     UARTCharPut(UART3_BASE, 214); // type number (power down delay)
381     UARTCharPut(UART3_BASE, 0); // motor or bank number
382     UARTCharPut(UART3_BASE, 0); // value byte 1 (MSB first )
383     UARTCharPut(UART3_BASE, 0); // value byte 2
384     UARTCharPut(UART3_BASE, 0); // value byte 3
385     UARTCharPut(UART3_BASE, 10); // value byte 4 (10 , 10 ms)
386     UARTCharPut(UART3_BASE, 230); // checksum
387     //
388
389     stepper_rx(msg);
390 // current limiting standby
391     UARTCharPut(UART3_BASE, 1); // module address
392     UARTCharPut(UART3_BASE, 5); // command (setup axis)
393     UARTCharPut(UART3_BASE, 7); // type number (standby current)
394     UARTCharPut(UART3_BASE, 0); // motor or bank number
395     UARTCharPut(UART3_BASE, 0); // value byte 1 (MSB first )
396     UARTCharPut(UART3_BASE, 0); // value byte 2
397     UARTCharPut(UART3_BASE, 0); // value byte 3
398     UARTCharPut(UART3_BASE, 0); // value byte 4 (0, no current)
399     UARTCharPut(UART3_BASE, 13); // checksum
400 //
401     stepper_rx(msg);
402 // microstep resolution 0 ( Fullstep )
403     UARTCharPut(UART3_BASE, 1); // module address
404     UARTCharPut(UART3_BASE, 5); // command (setup axis)
405     UARTCharPut(UART3_BASE, 140); // type number (standby current)
406     UARTCharPut(UART3_BASE, 0); // motor or bank number
407     UARTCharPut(UART3_BASE, 0); // value byte 1 (MSB first )
408     UARTCharPut(UART3_BASE, 0); // value byte 2
409     UARTCharPut(UART3_BASE, 0); // value byte 3
410     UARTCharPut(UART3_BASE, 0); // value byte 4 (0, no current)
411     UARTCharPut(UART3_BASE, 146); // checksum
412 //
413
414     stepper_rx(msg);
415
416 }
417
418 int stepper_rx(char* msg) {
419     for(var = 0; var < 9; var++){
420         msg[var] = UARTCharGet(UART3_BASE);
421     }
```

```
422     return 0;
423 }
424
425 int motor_step(int steps, int rot){
426     if(rot == 0){
427         steps = -steps;
428     }
429     uint8_t steps1 = 0xFF & steps;
430     uint8_t steps2 = 0xFF & steps>>8;
431     uint8_t steps3 = 0xFF & steps>>16;
432     uint8_t steps4 = 0xFF & steps>>24;
433     int sum_steps = steps1 + steps2 + steps3 + steps4;
434     // Motor dreht "steps" Schritte
435     UARTCharPut(UART3_BASE, 1); // module adress
436     UARTCharPut(UART3_BASE, 4); // command
437     UARTCharPut(UART3_BASE, 1); // type number
438     UARTCharPut(UART3_BASE, 0); // motor or bank number
439     UARTCharPut(UART3_BASE, 0xFF & steps>>24); // value byte 1 ( MSB
first )
440     UARTCharPut(UART3_BASE, 0xFF & steps>>16); // value byte 2
441     UARTCharPut(UART3_BASE, 0xFF & steps>>8); // value byte 3
442     UARTCharPut(UART3_BASE, 0xFF & steps); // value byte 4
443     UARTCharPut(UART3_BASE, sum_steps+6); // checksum
444     //
445     stepper_rx(msg);
446     while(position_reached == 0) {
447         //
448         UARTCharPut(UART3_BASE, 1); // module adress
449         UARTCharPut(UART3_BASE, 6); // command
450         UARTCharPut(UART3_BASE, 8); // type number
451         UARTCharPut(UART3_BASE, 0); // motor or bank number
452         UARTCharPut(UART3_BASE, 0); // value byte 1 ( MSB first )
453         UARTCharPut(UART3_BASE, 0); // value byte 2
454         UARTCharPut(UART3_BASE, 0); // value byte 3
455         UARTCharPut(UART3_BASE, 0); // value byte 4
456         UARTCharPut(UART3_BASE, 15); // checksum
457         //
458         stepper_rx(msg);
459         if(msg[7] == 1){
460             position_reached = 1;
461         }
462     }
463     position_reached = 0;
464
```

```
465 }  
466  
467 */
```

A.3.2 Matlab-Code

Listing A.1: Sample code from Matlab

```
1  classdef Sensor_reader  
2      properties  
3          % create dictionaries to save angle data for faster access  
4          dic_fft_angles = containers.Map;  
5          dic_cui_angles = containers.Map;  
6          %array to store calibration error  
7          arr_calibration_error = zeros(2,200)  
8          %%%%%%%%%%%%%%%%%%%%%%%%%%%%%%%%%%%%%%%%%%%%%%%%%%%%%%%%%%%%%%%%%%%%%%%%%  
9          % create variables for serial port objects  
10         ser_pcb  
11         ser_step  
12         %%%%%%%%%%%%%%%%%%%%%%%%%%%%%%%%%%%%%%%%%%%%%%%%%%%%%%%%%%%%%%%%%%%%%%%%%  
13     end  
14     methods  
15         function obj = Sensor_reader(ComSTEP,ComPCB)  
16             % Constructor method. Opens serial Ports for stepper and uc if  
17             % 2 arguments are passed.  
18             % Initializes the stepper motor and sends first msg to uC.  
19             switch nargin  
20                 case 2  
21                     obj.ser_step = serialport(ComSTEP,9600);  
22                     obj.ser_pcb = serialport(ComPCB,1000000);  
23                     obj.ser_pcb.Timeout = 10;  
24  
25                     %current limit  
26                     elements = [1,5,6,0,0,0,0,150,47];  
27                     write(obj.ser_step,elements,uint8);  
28                     test = read(obj.ser_step,9,uint8);  
29
```

```
30         %power down delay
31         elements = [1,5,214,0,0,0,0,10,230];
32         write(obj.ser_step,elements,uint8);
33         test = read(obj.ser_step,9,uint8);
34
35         %power down delay
36         elements = [1,5,7,0,0,0,0,0,13];
37         write(obj.ser_step,elements,uint8);
38         test = read(obj.ser_step,9,uint8);
39
40         %microstep resolution 0
41         elements = [1,5,140,0,0,0,0,0,146];
42         write(obj.ser_step,elements,uint8);
43         test = read(obj.ser_step,9,uint8);
44
45         case 1
46
47             obj.ser_pcb = serialport(ComSTEP,1000000);
48             obj.ser_pcb.Timeout = 10;
49
50         case 0
51         otherwise
52         end
53     end
54
55     function step(obj,dir)
56         % steps the stepper motor one fullstep in the direction
57         % specified by dir (left,right)
58         if dir == right
59             elements = [1,4,1,0,0,0,0,1,7];
60             write(obj.ser_step,elements,uint8)
61             read(obj.ser_step,9,uint8);
62             write(obj.ser_step,elements,uint8)
63             read(obj.ser_step,9,uint8);
64         elseif dir == left
65             elements = [1,4,1,0,255,255,255,255,2];
```

```
66         write(obj.ser_step,elements,uint8)
67         read(obj.ser_step,9,uint8);
68         write(obj.ser_step,elements,uint8)
69         read(obj.ser_step,9,uint8);
70     end
71 end
72
73 function [sens_data,cui_angle] = read_sensdata_pcb_and_cui_angle(
74     obj)
75     % Reads sin and cos data for all 16 sensors and the cui angle
76     % as ASCII Data. returns 1x16 complex array and cui angle in
77     % Degree.
78     % Format: cui_angle,sin1, cos1, sin2, cos2 .... sin15, cos15
79     n
80     for cnt = 1:2
81         flush(obj.ser_pcb,input) % flush input buffer
82         pause(0.001)
83         write(obj.ser_pcb,0,uint8); % command to uC to prepare
84         % next conversion
85         while(obj.ser_pcb.NumBytesAvailable<166)
86             end
87             data = readline(obj.ser_pcb);
88         end
89         data = str2num(strrep(data, , , ));
90         cui_angle = data(1) * (360.0/16384.0);
91         data(1) = []; % remove first element that was cui angle
92         % even index values = imag data
93         real_val = data(2:2:end) -2048.0;
94         % odd index values = real data
95         imag_val = data(1:2:end) -2048.0;
96         sens_data = (real_val + 1i*imag_val);
97     end
98
99 function [pcb_angles,cui_angle] = read_angle_pcb_and_cui_angle(obj
100     , mean_cnt)
101     % Reads sin and cos data for all 16 sensors and the cui angle
```

```
197      % as ASCII Data. returns pcb_angle calculated by complex fft
198      % in Degree and cui angle in Degree.
199      pcb_angles_array = []
200      for n = 1:mean_cnt
201          [sens_data,cui_angle] = read_sensdata_pcb_and_cui_angle(
202              obj);
203          pcb_angles = angle(fft(sens_data')) .* 180/pi;
204          pcb_angles_array(n,:) = pcb_angles(2);
205      end
206      pcb_angles = mean(pcb_angles_array);
207  end
208
209  function save_sensdata_pcb_and_cui_angle(obj,index, csv_name,
210      mean_cnt)
211      % Saves mean Sensor Data and cui angle in a new line of a csv
212      % table
213      % specified by csv_name. averages sensor data over mean_cnt
214      % measurements. indexes new line with index
215      % csv line format: index,[cos1+sin1i cos2+sin2i ...
216      % cos15+sin15i],pcb_angle,cui_angle
217      sens_data_array_imag = [];
218      sens_data_array_real = [];
219      sens_data = [];
220      %cui_angle_sum = 0;
221      %cui_angle_last = 0;
222      %[sens_data,cui_angle] = obj.read_sensdata_pcb_and_cui_angle()
223      ; %
224      for n = 1:mean_cnt
225          [sens_data,cui_angle] = obj.
226              read_sensdata_pcb_and_cui_angle();
227          sens_data_array_imag(n,:) = imag(sens_data);
228          sens_data_array_real(n,:) = real(sens_data);
229          flush(obj.ser_pcb)
230      end
231      sens_data_imag = mean(sens_data_array_imag,1);
232      sens_data_real = mean(sens_data_array_real,1);
```

```
126     sens_data = sens_data_real + 1i* sens_data_imag;
127     %cui_angle = cui_angle_sum / mean;
128     pcb_angles = angle(fft(sens_data));
129     pcb_angles = pcb_angles(2) * 180/pi;
130     sens_data_cell = strcat([], num2str(sens_data,10),,);
131     write_data = {index, sens_data_cell, pcb_angles , cui_angle};
132     writecell(write_data, csv_name, 'WriteMode', 'append', 'Delimiter'
        , ',')
133 end
134
135 function zero_cui(obj)
136     % steps the stepper motor until the cui angle overflows from
137     % 360 to 0
138     cui_angle_last = 0;
139     cui_angle = 0;
140     while(not(cui_angle_last - cui_angle > 300))
141         cui_angle_last = cui_angle;
142         obj.step(right)
143         pause(200/1000) % Pause 200 ms
144         [sens_data, cui_angle] = obj.
            read_sensdata_pcb_and_cui_angle();
145     end
146 end
147
148 function start_measurement(obj, csv_root, rotations, mean)
149     % zeros the cui angle and then saves measurements for
150     % rotations amount of rotations in csv files while averaging
151     % the sensor data mean amount of times.
152     % csv format: csv_rootrotation.csv
153
154     %obj.zero_cui()
155     for n = 0:rotations
156         csv_name = strcat(csv_root, num2str(n), '.csv');
157         if isfile(csv_name)
158             else
159                 for i = 0:199
```



```
160         pause(0.1) % Pause 100 ms
161         obj.save_sensdata_pcb_and_cui_angle(i, csv_name,
162             mean)
163         obj.step(right)
164     end
165 end
166 end
167
168 function sens_data = read_sensdata_csv(~, csv_name)
169     % reads sensor data from csv and returns 200x16 complex vector
170     .
171     % (200 measurements for 16 sensors)
172     values = readtable(csv_name, 'Delimiter', ',');
173     values_array = table2array(values(:,2));
174     sens_data_str = regexprep(values_array, '[[ ]', '');
175     sens_data_str = strrep(sens_data_str, j, j );
176     sens_data_str = strrep(sens_data_str, i, j );
177     sens_data = zeros(length(sens_data_str), 16);
178     for num = 1:length(sens_data_str)
179         sens_data(num,:) = str2num(sens_data_str(num)) .* -1j;
180     end
181 end
182
183 function angles_cui = read_cuidata_csv(obj, csv_name)
184     if obj.dic_cui_angles.isKey(csv_name)
185         angles_cui = obj.dic_cui_angles(csv_name);
186     else
187         values = readtable(csv_name, 'Delimiter', ',');
188         angles_cui = table2array(values(:,4));
189         obj.dic_cui_angles(csv_name) = angles_cui;
190     end
191 end
192
193 function fft_angles = calc_angles_fft_complex(obj, csv_name)
194     % reads sensor data from csv and returns 16x200 angle data for
```

```
194     % Frequenzies k= 0 to 15
195     if obj.dic_fft_angles.isKey(csv_name)
196         fft_angles = obj.dic_fft_angles(csv_name);
197     else
198         values = read_sensdata_csv(obj, csv_name);
199         fft_angles = angle(fft(values')) .* 180/pi;
200         obj.dic_fft_angles(csv_name) = fft_angles;
201         %fft_angles = atan2(imag(fftshift(fft(values'))),real(
                fftshift(fft(values')))) .* 180/pi;
202     end
203 end
204
205 function err = calc_array_err_fft_complex(obj, csv_name)
206     angles_fft = calc_angles_fft_complex(obj, csv_name);
207     for freq = [2 16]
208         angles_fft = angles_fft(freq, :)'; % index 2 = Frequenz 1
                ( k=1 )
209         angles_cui = read_cuidata_csv(obj, csv_name);
210         %angles_cui = unwrap(angles\_cui,180);
211         %angles_fft = unwrap(angles\_fft,180);
212         for x = 2:length(angles_fft)
213             if (angles_cui(x-1) - angles_cui(x)) < -300
214                 angles_cui(x) = angles_cui(x) - 360.0;
215             elseif (angles_cui(x-1) - angles_cui(x)) > 300
216                 angles_cui(x) = angles_cui(x) + 360.0;
217             end
218             if (angles_fft(x-1) - angles_fft(x)) < -300
219                 angles_fft(x) = angles_fft(x) - 360.0;
220             elseif (angles_fft(x-1) - angles_fft(x)) > 300
221                 angles_fft(x) = angles_fft(x) + 360.0;
222             end
223         end
224
225         diff = angles_fft(1) - angles_cui(1);
226         angles_fft = angles_fft - diff;
227         if freq == 2
```

```
228         err_temp(1,:) = angles_fft - angles_cui;
229     else
230         err_temp(2,:) = angles_fft - angles_cui;
231     end
232 end
233 %     if (abs(max(err_temp(1,:)))>(abs(max(err_temp(2,:))))
234 %         err = err_temp(2,:);
235 %     else
236 %         err = err_temp(1,:);
237 %     end
238     err = err_temp(1,:);
239 end
240
241 function max_diffs = calc_error_diffs_between_measurements(obj,
242     csv_root,n)
243     % return the highest difference between angle errors for full
244     % rotations.
245     % takes root path and concats x.csv where x is an incremented
246     % number
247     % from 0 to n.
248     for cnt = 1:n+1
249         filename = strcat(csv_root,int2str(cnt-1),'.csv');
250         read_data(cnt,:) = calc_array_err_fft_complex(obj,filename
251             );
252     end
253     diffs = read_data';
254     for x = 1:length(diffs)
255         max_diffs(x) = max(diffs(x,:)) - min(diffs(x,:));
256     end
257 end
```

Erklärung zur selbstständigen Bearbeitung

Hiermit versichere ich, dass ich die vorliegende Arbeit ohne fremde Hilfe selbständig verfasst und nur die angegebenen Hilfsmittel benutzt habe. Wörtlich oder dem Sinn nach aus anderen Werken entnommene Stellen sind unter Angabe der Quellen kenntlich gemacht.

Ort

Datum

Unterschrift im Original